



# Implementierung und Optimierung von dreidimensionalen Stencil-Skeletten mithilfe paralleler Verarbeitung

Justus Dieckmann  
[463347]

## Bachelorarbeit

Erstprüfer: Prof. Dr. Herbert Kuchen  
Zweitprüfer: Prof. Dr. Sergei Gorlatch  
Betreuerin: Nina Herrmann, M.Sc.  
Abgabetermin: 14. Februar 2023

# Inhaltsverzeichnis

<b>Abkürzungen</b>	<b>VI</b>
<b>1. Einführung</b>	<b>1</b>
<b>2. Parallele Programmierung auf GPUs</b>	<b>2</b>
2.1. Klassifikation von Rechnerarchitekturen nach Flynn . . . . .	2
2.2. Architektur von GPUs . . . . .	3
2.3. CUDA als Schnittstelle für GPUs . . . . .	3
2.4. Skelett-Programmierung . . . . .	5
2.5. Muesli . . . . .	5
2.5.1. Implementierte Skelette . . . . .	6
2.5.2. Beispielanwendung . . . . .	7
2.6. Stenciloperation . . . . .	8
2.7. Beispielanwendung LBM-Simulation . . . . .	9
<b>3. Implementierung des dreidimensionalen Stencil-Skeletts</b>	<b>11</b>
3.1. Bestehende Implementierung des DistributedCube . . . . .	11
3.2. Vorüberlegungen zur Implementierung des MapStencil-Skeletts . . . . .	12
3.2.1. MapStencil-Skelett mit verteilten Daten . . . . .	12
3.2.2. GPUs und Funktionen höherer Ordnung . . . . .	12
3.3. Implementierung des MapStencil-Skeletts . . . . .	14
3.3.1. Die Klasse PaddedLocalCube . . . . .	15
3.3.2. MapStencil-Implementierung . . . . .	18
3.4. Implementierung der Beispielanwendung LBM-Simulation in Muesli . . . .	21
3.5. Native Referenzimplementierung . . . . .	25
3.6. Optimierung . . . . .	29
3.6.1. Muesli . . . . .	29
3.6.2. Nativ . . . . .	29
<b>4. Leistungsanalyse</b>	<b>30</b>
4.1. Vor der Optimierung . . . . .	30
4.2. Nach der Optimierung . . . . .	31
<b>5. Fazit</b>	<b>35</b>
<b>Literatur</b>	<b>36</b>
<b>A. Programmdateien</b>	<b>38</b>
<b>B. Laufzeitdaten</b>	<b>57</b>
B.1. Laufzeitdaten vor der Optimierung . . . . .	57
B.2. Laufzeitdaten nach der Optimierung . . . . .	61

# Abbildungsverzeichnis

2.1.	Klassifikation von Rechnerarchitekturen nach Flynn . . . . .	2
2.2.	Threaddiagramm für den Beispielaufruf <code>kernel&lt;&lt;&lt;3, 4&gt;&gt;&gt;()</code> . . . . .	5
2.3.	Beispiel des <code>MapInPlace</code> -Skeletts . . . . .	6
2.4.	Beispiel des <code>ZipInPlace</code> -Skeletts . . . . .	7
2.5.	Beispiel des <code>Fold</code> -Skeletts . . . . .	7
2.6.	Auswahl von verschiedenen möglichen Stencils . . . . .	8
2.7.	Faltungsmatrizen für Bildfilter . . . . .	9
3.1.	Indexierung eines <code>DistributedCubes</code> mit Breite 5, Höhe 2 und Tiefe 3 . . .	11
3.2.	Verteilte Datenstruktur auf zwei GPUs mit Stencil von Radius 2 um (4, 4). .	13
4.1.	Laufzeit des <code>mapStencil</code> -Skeletts und der Referenzimplementierung ohne Optimierung nach Datenstrukturgröße auf jeweils einer GPU . . . . .	31
4.2.	Laufzeit des <code>mapStencil</code> -Skeletts und der Referenzimplementierung mit Optimierung nach Datenstrukturgröße auf jeweils einer GPU . . . . .	31
4.3.	Laufzeit des <code>mapStencil</code> -Skeletts und der Referenzimplementierung mit Optimierung nach GPU-Anzahl mit einer Würfellänge von 800 auf der Nvidia A100 . . . . .	32
4.4.	Aufspaltung der Laufzeiten aus Abbildung 4.3 . . . . .	33
4.5.	Laufzeit von Muesli abhängig von der Seitenlänge des Würfels mit ver- schiedenen Anzahlen an GPUs (Nvidia A100) . . . . .	33

## Tabellenverzeichnis

B.1. Laufzeitdaten mit Nvidia A100 SXM 80 GB GPUs . . . . .	57
B.2. Laufzeitdaten mit Nvidia GeForce RTX 2080 Ti 11GB GPUs . . . . .	59
B.3. Laufzeitdaten mit Nvidia Titan RTX 24 GB GPUs . . . . .	60
B.4. Laufzeitdaten mit Nvidia A100 SXM 80 GB GPUs . . . . .	61
B.5. Laufzeitdaten mit Nvidia GeForce RTX 2080 Ti 11GB GPUs . . . . .	64
B.6. Laufzeitdaten mit Nvidia Titan RTX 24 GB GPUs . . . . .	67

## Programmausschnitte

2.1. Beispiel für CUDA-Anwendung . . . . .	4
2.2. Beispiel einer Muesli-Anwendung . . . . .	7
3.1. Funktion als Parameter per Funktionspointer . . . . .	13
3.2. Funktion als Parameter per Templateargument . . . . .	14
3.3. Definition des Typenalias <code>DCMapStencilFunctor</code> . . . . .	15
3.4. Konstruktor der Klasse <code>PLCube</code> . . . . .	15
3.5. Funktion <code>coordinateToIndex</code> der Klasse <code>PLCube</code> . . . . .	16
3.6. <code>operator()</code> der Klasse <code>PLCube</code> . . . . .	16
3.7. Funktion <code>indexToCoordinate</code> der Klasse <code>PLCube</code> . . . . .	17
3.8. Funktionen <code>getTopPaddingElements</code> und <code>getBottomPaddingElements</code> der Klasse <code>PLCube</code> . . . . .	17
3.9. Funktion <code>mapStencil</code> der Klasse <code>DC</code> . . . . .	18
3.10. Funktion <code>syncPLCubes</code> der Klasse <code>DC</code> . . . . .	19
3.11. Funktion <code>initPLCubes</code> der Klasse <code>DC</code> . . . . .	19
3.12. Funktion <code>mapStencilKernelDC</code> . . . . .	21
3.13. Definitionen, um auf Informationen in der Mantisse von <code>NaN</code> -Gleitkommazahlen zuzugreifen . . . . .	22
3.14. Funktor des <code>mapStencil</code> -Skeletts für die LBM-Simulation. . . . .	22
3.15. Gleichgewichtsfunktion <code>feq</code> für die LBM-Simulation . . . . .	24
3.16. Funktion mit Aufrufs des <code>mapStencil</code> -Skeletts zur LBM-Simulation . . . . .	24
3.17. Funktion <code>initSimulation</code> der nativen Referenzimplementierung . . . . .	26
3.18. Funktion <code>simulateStep</code> der nativen Referenzimplementierung . . . . .	27
3.19. Kernelfunktion <code>update</code> der nativen Referenzimplementierung . . . . .	28
3.20. Veränderte der Methodensignatur des <code>operator()</code> des <code>PLCube&lt;T&gt;</code> . . . . .	29
A.1. <code>PLCube&lt;T&gt;</code> . . . . .	38
A.2. <code>array&lt;T, size&gt;</code> . . . . .	41
A.3. <code>vec3&lt;T&gt;</code> . . . . .	42
A.4. Beispielanwendung LBM-Simulation mithilfe von Muesli . . . . .	43
A.5. Native Referenzimplementierung der LBM-Simulation . . . . .	49

# Abkürzungen

**CPU** Central Processing Unit. 2, 3, 5, 35

**GPGPU** General Purpose Computation on Graphics Processing Unit. 2

**GPU** Graphics Processing Unit. 2–6, 11–13, 15, 18, 20, 21, 25–28, 30–32, 35, III

**ISL** Iterative Stencil Loop. 1, 35

**LBM** Lattice-Boltzmann-Methode. 9

**MIMD** Multiple Instruction, Multiple Data. 2, 3

**MISD** Multiple Instruction, Single Data. 2

**MPI** Message Passing Interface. 6, 35

**Muesli** Muenster Skeleton Library. 1, 5, 35

**SIMD** Single Instruction, Multiple Data. 2, 3

**SISD** Single Instruction, Single Data. 2

**SM** Streaming Multiprocessor. 3–5

# 1. Einführung

Die effiziente Verarbeitung großer Datenmengen wird in den verschiedensten Bereichen, zum Beispiel bei der Bildverarbeitung<sup>1</sup> und Machine Learning<sup>2</sup> immer wichtiger. Eine besondere Bedeutung kommt dabei der parallelen Programmierung zu, mit welcher unter anderem mithilfe von Grafikkarten bei vielen Anwendungsfällen erhebliche Beschleunigungen erreicht werden können. Die Entwicklung paralleler Programme ist allerdings mit vielen zusätzlichen Schwierigkeiten verbunden. Die Muenster Skeleton Library (Muesli) versucht daher eine Schnittstelle mit verschiedenen viel verwendeten Mustern der parallelen Programmierung bereitzustellen, welche dafür sorgen, dass der Entwickler sich nicht mit den vielen technischen Details auseinandersetzen muss.

Eine wichtige Klasse von Algorithmen innerhalb der parallelen Programmierung stellen sogenannte Iterative Stencil Loops (ISLs) dar, welche zum Beispiel Anwendung bei dem Lösen partieller Differenzialgleichungen und der Simulation verschiedenster Teilcheninteraktionen finden. In diesen Programmen werden die Zellen eines regulären Gitters immer wieder anhand der Werte ihrer Nachbarn aktualisiert. [1]

Diese Arbeit setzt sich zum Ziel, ein effizientes und einfach zu benutzendes dreidimensionales `mapStencil`-Skelett in Muesli zu entwickeln, welches die Implementierung von ISLs vereinfacht. Dazu gibt das zweite Kapitel eine Einführung in die parallele Programmierung mit GPUs und vermittelt alle Grundlagen, die nötig sind, um das Skelett in Muesli entwickeln zu können.

Das dritte Kapitel erläutert zunächst die für diese Arbeit benötigten Teile des bereits existierenden Muesli-Programmcodes. Nach einigen technischen Vorüberlegungen wird das dreidimensionale `mapStencil`-Skelett implementiert und eine Beispielanwendung entwickelt. Außerdem wird die Beispielanwendung ohne die Hilfe von Muesli reimplementiert, um die Leistung und den Entwicklungsaufwand vergleichen zu können. Die Optimierung der beiden Implementierungen schließt die Entwicklung ab.

Im vierten Kapitel wird die Leistung des `mapStencil`-Skeletts für die Berechnung von ISLs mit unterschiedlichen Datengrößen und verschiedenen Anzahlen an benutzten GPUs mit der nativen Referenzimplementierung verglichen und evaluiert.

Abschließend werden die Ergebnisse zusammengefasst und mögliche Ansatzpunkte für die weitere Forschung genannt.

---

<sup>1</sup><https://opencv.org/about/>

<sup>2</sup><https://www.tensorflow.org/>

## 2. Parallele Programmierung auf GPUs

Die Graphics Processing Unit (GPU) wurde ursprünglich entwickelt, um einen Prozessor zu bieten, der deutlich besser als die Central Processing Unit (CPU) dazu geeignet ist, zwei- und dreidimensionale grafische Daten zu generieren und zu verarbeiten. So wurde sie konstruiert, um identische Berechnung für zum Beispiel eine große Anzahl an Pixeln effektiv ausführen zu können. Der Hersteller Nvidia hat 2006 mit der Einführung der Chip-Architektur *Tesla* begonnen, universell nutzbare Rechenkerne (*CUDA-Kerne*) anstelle von spezifischen Recheneinheiten für die verschiedenen Phasen der Grafikverarbeitungs-pipeline zu verwenden [2]. So wurde es möglich die Leistung der GPU auch für parallele Anwendungen abseits der Grafikverarbeitung zu nutzen. Unter diesem Aspekt hat sich in den letzten Jahren auch der Begriff General Purpose Computation on Graphics Processing Unit (GPGPU) etabliert [3, S. 767]. Im Folgenden wird sich diese Arbeit auf GPUs von Nvidia konzentrieren; die Grafikkarten anderer Hersteller sind aber ähnlich aufgebaut.

### 2.1. Klassifikation von Rechnerarchitekturen nach Flynn

Zur Einordnung von Rechnerarchitekturen hat Michael J. Flynn eine simple Klassifikation entwickelt, welche Rechner danach kategorisiert, ob sie einen oder mehrere Instruktionsströme ausführen und einen oder mehrere Datenströme gleichzeitig behandeln (siehe Abb. 2.1).

		Data	
		Single	Multiple
Instruction	Single	SISD	SIMD
	Multiple	MISD	MIMD

Abbildung 2.1: Klassifikation von Rechnerarchitekturen nach Flynn. Angelehnt an: [4, S. 33].

Die Single Instruction, Single Data (SISD)-Architektur bezeichnet dabei einen Rechner, der mit einem Instruktionsstrom einen Datenstrom bearbeitet, wie es zum Beispiel ein klassischer Einkernprozessor macht. Ein Rechner nach Single Instruction, Multiple Data (SIMD)-Architektur hingegen führt zu jedem Zeitpunkt eine Instruktion auf mehreren Datenströmen aus. In der Fachliteratur ist streitig, ob es für Multiple Instruction, Single Data (MISD)-Architekturen, welche mit mehreren Befehlsströmen einen Datenstrom



behandeln, sinnvolle Anwendungen und Beispiele gibt. Multiple Instruction, Multiple Data (MIMD)-Rechner können gleichzeitig mehrere Befehle auf unterschiedlichen Datenströmen ausführen. Ein Beispiel dafür sind Computer mit Mehrkernprozessoren. [5], [4, S. 32f.]

## 2.2. Architektur von GPUs

Eine moderne Nvidia-GPU besteht aus mehreren sogenannten Streaming Multiprocessors (SMs), welche wiederum eine Vielzahl an CUDA-Kernen enthalten. Jeder SM ist dabei ein SIMD-Prozessor; es führen also zu jedem Zeitpunkt alle Kerne innerhalb eines SMs die gleiche Instruktion für unterschiedliche Daten aus. Zum einen ermöglicht diese Funktionsweise eine sehr große mögliche Rechenleistung: Im Vergleich zwischen der im Januar 2023 ähnlich teuren GPU Nvidia RTX 3060 und CPU Intel Core i7-12700 kann die GPU rund 12 740 Milliarden Fließkommaoperationen pro Sekunde durchführen [6], während die CPU nur auf circa 403 Milliarden Operationen pro Sekunde kommt [7]. Andererseits zeigt die Funktionsweise auch eine große Limitation der GPU-Programmierung auf: sobald die Berechnungen der CUDA-Kerne innerhalb eines SMs in unterschiedliche Codezweige divergieren, muss der SM diese einzeln nacheinander durchlaufen und deaktiviert dabei alle Kerne, die nicht die derzeitige Instruktion ausführen müssen. [2], [8, Kap. 4]

Um einen Überblick über die Größenverhältnisse einer GPU zu bekommen, lohnt es sich als Beispiel noch einmal die RTX 3060 anzuschauen: Sie beinhaltet 28 SMs mit jeweils 128 CUDA-Kernen, enthält also insgesamt 3584 Kerne [6].

## 2.3. CUDA als Schnittstelle für GPUs

Um die Rechenleistung einer GPU sinnvoll nutzen und Code auf ihr ausführen zu können, wird eine Schnittstelle benötigt. Für grafische Anwendungen gibt es zum Beispiel schon seit langem das plattformunabhängige Projekt OpenGL<sup>3</sup> und Direct3D<sup>4</sup> für Windows. Um die GPU abseits grafischer Anwendungen benutzen zu können, gibt es OpenCL<sup>5</sup> und CUDA<sup>6</sup>. Letztes wird dieser Arbeit genutzt.

Damit per CUDA die GPU für allgemeine Berechnungen benutzt werden kann, wurde CUDA-C++, eine Erweiterung von C++, entwickelt. Somit kann man Funktionen, welche auf der GPU ausgeführt werden sollen, als C++-Code definieren, und diese mit einem speziellen Syntax aufrufen. Diese Funktionen werden in dem Kontext auch *Kernel* genannt.

In Listing 2.1 wird eine beispielhafte Benutzung des CUDA-Toolkits demonstriert.

---

<sup>3</sup><https://www.opengl.org/>

<sup>4</sup><https://learn.microsoft.com/en-us/windows/win32/direct3d/>

<sup>5</sup><https://www.khronos.org/opencl/>

<sup>6</sup><https://docs.nvidia.com/cuda/cuda-c-programming-guide/>

```

1  const size_t ELEMENTS = 5;
2
3  __global__ void sumInPlace(int *dest, const int *other) {
4      size_t i = blockIdx.x * blockDim.x + threadIdx.x;
5      dest[i] = dest[i] + other[i];
6  }
7
8  int main() {
9      // Setup //
10     int *gpuA, *gpuB;
11     cudaMalloc(&gpuA, ELEMENTS * sizeof(int));
12     cudaMalloc(&gpuB, ELEMENTS * sizeof(int));
13     int a[] = {1, 2, 3, 4, 5};
14     int b[] = {2, 3, 4, 5, 6};
15     cudaMemcpy(gpuA, a, ELEMENTS * sizeof(int), cudaMemcpyDefault);
16     cudaMemcpy(gpuB, b, ELEMENTS * sizeof(int), cudaMemcpyDefault);
17
18     // Kernel call //
19     sumInPlace<<<1, ELEMENTS>>>(gpuA, gpuB);
20
21     // Get results //
22     int result[ELEMENTS];
23     cudaMemcpy(result, gpuA, ELEMENTS * sizeof(int), cudaMemcpyDefault);
24     for (int i : result) {
25         std::cout << i << " "; // Prints 3 5 7 9 11
26     }
27 }

```

Programmausschnitt 2.1: Beispiel für CUDA-Anwendung

Zunächst werden in Zeile 11-12 mit der Funktion `cudaMalloc(void** devPtr, size_t bytes)` zwei Arrays mit jeweils fünf Elementen auf der GPU allokiert. Die Methodensignatur von `cudaMalloc` ist anders, als man es zunächst anhand des Äquivalents `malloc` in C erwarten würde, da fast alle Funktionen der CUDA-API ein Element des Enums `cudaError_t` zurückgeben, über den die sie entweder per `cudaSuccess` Erfolg, oder mit einem anderen Rückgabewert einen Fehler vermelden. Der Rückgabewert sollte normalerweise überprüft werden; dies wird hier aber der Übersichtlichkeit halber weggelassen. Als nächstes werden mithilfe von `cudaMemcpy(void* dst, void* src, size_t bytes, cudaMemcpyKind kind)` Daten aus dem Arbeitsspeicher in die GPU übertragen. [9, Kap. 6.2]

In Zeile 19 findet nun der Kernelaufruf statt. Er besteht aus dem Aufruf einer mit `__global__` qualifizierten Methode mit zusätzlichen in dreifachen Kleiner-/Größerzeichen eingeschlossenen Parametern. Diese geben unter anderem an, wie viele Threads die Kernelfunktion aufrufen. Hierbei wird eine vorher festgelegte Anzahl an Threads in einem Block zusammengefasst. Jeder Funktionsaufruf wird in einem eigenen Thread ausgeführt, wobei immer eine bestimmte Anzahl an Threads in einem Block zusammengefasst werden. Der erste zusätzliche Parameter bestimmt, wie viele Blöcke gestartet werden; der zweite Parameter sagt aus, wie viele Threads jeder Block enthält. Alle Threads innerhalb eines Blocks werden auf dem gleichen SM ausgeführt, sodass die Anzahl der

Threads pro Block dadurch limitiert ist, wie viele Threads ein SM gleichzeitig ausführen kann. Bei modernen GPUs liegt dieses Limit bei 1024. [8, Kap. 2]

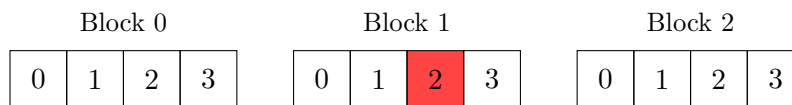


Abbildung 2.2: Threaddiagramm für den Beispielaufruf `kernel<<<3, 4>>>()`

Innerhalb der Kernelfunktion erhält man über vordefinierte Variablen Informationen über den derzeitigen Thread und Block. So ist im markierten Thread in Abb. 2.2 die Anzahl der Blöcke `gridDim.x = 3`, der Blockindex `blockIdx.x = 1`, die Anzahl der Threads pro Block `blockDim.x = 4` und der Threadindex innerhalb des Blockes `threadIdx.x = 2`. [8, Kap. 2]

So wird in dem aufgerufenen Kernel `sumInPlace` in Z. 4 der globale Threadindex berechnet, und in Z. 5 die Zahl an diesem Index im zweiten Array auf die entsprechende Zahl im ersten Array aufaddiert. Zu guter Letzt werden ab Z. 23 die Ergebnisse von der GPU zurück in den Arbeitsspeicher kopiert und ausgegeben.

## 2.4. Skelett-Programmierung

Die parallele Programmierung ist mit einigen zusätzlichen Schwierigkeiten verbunden. So muss zum Beispiel darauf geachtet werden, dass durch den gleichzeitigen Zugriff auf Daten keine Race-Conditions entstehen und, dass die aktuellen Daten immer an der richtigen Stelle auf den verschiedenen Geräten liegen, auf denen sie gerade gebraucht werden. Zusätzlich ist im Falle eines Fehlers der Fehlerfindungsprozess im Gegensatz zu seriellen, auf der CPU ausgeführten Programmen deutlich erschwert.

Um die Entwicklung paralleler Programme zu vereinfachen, können sogenannte algorithmische Skelette benutzt werden. Diese versuchen technische Details so gut wie möglich zu verstecken, fassen oft verwendete Muster der parallelen Programmierung zusammen und stellen sie als einfach verwendbare Schnittstelle bereit. Durch das häufige Wiederbenutzen der Muster wird Zeit für eine besonders sorgfältige und optimierte Implementierung geschaffen. [10], [11]

In Kapitel 2.5 folgt ein Beispiel einer Skelettbibliothek.

## 2.5. Muesli

Die Muenster Skeleton Library (Muesli) ist eine in C++ geschriebene, templatebasierte Skelettbibliothek für die Entwicklung paralleler Programme. Die grundlegenden Datenstrukturen in Muesli sind das eindimensionale *DistributedArray* (DA), die zweidimensionale *DistributedMatrix* (DM) und der dreidimensionale *DistributedCube* (DC), welche

mittels Templating beliebige zusammenhängende Daten speichern können. Templating ist ein Konzept in C++, das generische Programmierung erlaubt, ohne aber dabei einen Mehraufwand zur Laufzeit zu erfordern.

Muesli benutzt CUDA, um Berechnungen auf GPUs auszuführen, OpenMP, um die Arbeit auf mehrere Prozessoren aufzuteilen und Message Passing Interface (MPI), damit die Berechnung auf mehrere Computer aufgeteilt werden kann [12, S. 75-77].

Diese Arbeit konzentriert sich auf die Parallelisierung mittels CUDA.

### 2.5.1. Implementierte Skelette

Muesli implementiert die Skelette `map`, `zip` und `fold` in verschiedenen Varianten:

- Der Ausdruck `Index` im Skelettnamen bedeutet, dass dem Funktor zusätzlich zu den Werten an jeder Stelle auch der Index der Stelle übergeben wird.
- Der Ausdruck `InPlace` im Skelettnamen bedeutet, dass das Ergebnis nicht in eine weitere Datenstruktur, sondern in die Ausgangsdatenstruktur geschrieben wird.
- Die beiden Kennzeichner `Index` und `InPlace` können als `IndexInPlace` kombiniert anzeigen, dass das Skelett dem Funktor sowohl den Index übergibt, als auch das Ergebnis in die Ausgangsdatenstruktur geschrieben wird.
- Eine Skelettvariante ohne `Index` oder `InPlace` im Namen übergibt dem Funktor nicht zusätzlich den Index und schreibt das Ergebnis in eine weitere Datenstruktur.

#### `map`

Das Skelett `map` wendet den Funktor auf jedes Element der Datenstruktur an. Muesli implementiert die Varianten `map`, `mapIndex`, `mapInPlace` und `mapIndexInPlace` für alle drei Datenstrukturen. In Abbildung 2.3 wird eine beispielhafte Anwendung skizziert.

$$a = \begin{array}{|c|c|c|} \hline 3 & 2 & 5 \\ \hline \end{array} \xrightarrow[\text{mit } f(i) := i + 1]{a.\text{mapInPlace}(f)} a = \begin{array}{|c|c|c|} \hline 4 & 3 & 6 \\ \hline \end{array}$$

Abbildung 2.3: Beispiel des `MapInPlace`-Skeletts

#### `zip`

Das Skelett `zip` ist dafür geeignet, zwei gleichförmige Datenstrukturen zu verarbeiten. Es übergibt für alle Zellen der Datenstrukturen die beiden jeweiligen Elemente der ersten und zweiten Struktur an den Funktor und schreibt das Resultat in die entsprechende Stelle in einer dritten Datenstruktur (oder überschreibt den Wert der ersten Datenstruktur für `InPlace`-Varianten).

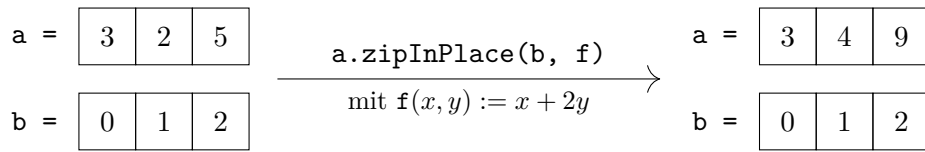


Abbildung 2.4: Beispiel des `ZipInPlace`-Skeletts

## fold

Das Skelett `fold` reduziert die Daten einer Datenstruktur zu einem einzelnen Wert, indem immer wieder zwei Werte von dem übergebenen Funktor kombiniert werden, bis nur ein Wert überbleibt.

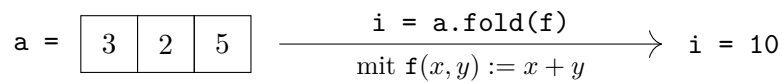


Abbildung 2.5: Beispiel des `Fold`-Skeletts

### 2.5.2. Beispielanwendung

In der in Programmausschnitt 2.2 gezeigten Beispielanwendung wird in Zeile 14 zunächst die Initialisierungsfunktion von Muesli aufgerufen. Im Anschluss werden Objekte der Funktorklassen `Sum` und `Product` erstellt, welche beide von `Functor2<int, int, int>` erben. Sie nehmen dementsprechend zwei `int`-Argumente entgegen und geben einen Wert vom Typ `int` zurück. In Z. 19 und 20 werden zwei eindimensionale Muesli-Datenstrukturen *DistributedArray* (*DA*) erstellt, die jeweils vier Elemente vom Typ `int` speichern. Das erste DA wird außerdem mit Dreien gefüllt.

In Z. 21 wird das algorithmische Skelett `mapIndex` benutzt, welches aufgrund der übergebenen Parameter die Zahlen aus `da1`, summiert mit ihren jeweiligen Indices, in `da2` schreibt. Anschließend sorgt der Aufruf des Skeletts `zipInPlace` dafür, dass jede Zahl in `da1` mit ihrem Produkt mit dem entsprechenden Wert in `da2` überschrieben wird.

```

1 class Sum : public Functor2<int, int, int> {
2     public: MSL_USERFUNC int operator() (int x, int y) {
3         return x + y;
4     }
5 };
6
7 class Product : public Functor2<int, int, int> {
8     public: MSL_USERFUNC int operator() (int x, int y) {
9         return x * y;
10    }
11 };
12

```

```

13 int main(int argc, char** argv) {
14     msl::initSkeletons(argc, argv);
15
16     Sum sum;
17     Product product;
18
19     DA<int> da1(4, 3);           // da1: [3, 3, 3, 3]
20     DA<int> da2(4);
21     da1.mapIndex(sum, da2);      // da2: [3, 4, 5, 6]
22     da1.zipInPlace(da2, product); // da1: [9, 12, 15, 18]
23 }

```

Programmausschnitt 2.2: Beispiel einer Muesli-Anwendung

## 2.6. Stenciloperation

Eine Stenciloperation ist eine Operation, welche für eine Zelle einen neuen Wert auf Grundlage ihrer lokalen Nachbarzellen berechnet.

Welche Nachbarn genau für die Berechnung des neuen Wertes in Betracht gezogen werden, wird durch die Wahl des Stencils bestimmt. Siehe Abb. 2.6 für eine Auswahl von Stencils.

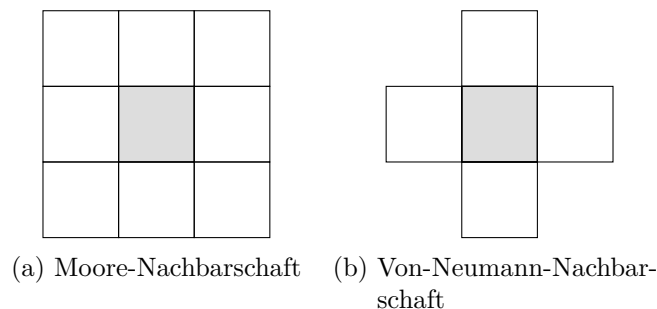


Abbildung 2.6: Auswahl von verschiedenen möglichen Stencils

Stenciloperation haben viele verschiedene Anwendungen. Eine Gruppe an einfachen zweidimensionalen Stenciloperationen findet sich in der Bildbearbeitung, in der einige Bildfilter als *Faltung* (eng. *Convolution*), eine gewichtete Summe der Pixel in der 3x3 Moore-Nachbarschaft, definiert sind. Mit welchem Faktor ein Nachbarschaftspixel in der Summe multipliziert wird, bestimmt die *Faltungsmatrix*. Beispiele für Faltungen sind der glättende Mittelwertfilter (Abb. 2.7a) oder der Laplacefilter (Abb. 2.7b), welcher der Kantenfindung dient. [13]

Weiterhin werden Stenciloperationen für die Berechnung von zellulären Automaten und für das Lösen partieller differenzieller Gleichungen benutzt.

$$\frac{1}{9} \cdot \begin{pmatrix} 1 & 1 & 1 \\ 1 & 1 & 1 \\ 1 & 1 & 1 \end{pmatrix} \qquad \begin{pmatrix} 0 & 1 & 0 \\ 1 & -4 & 1 \\ 0 & 1 & 0 \end{pmatrix}$$

(a) Mittelwertfilter [14]      (b) Laplacefilter [15]

Abbildung 2.7: Faltungsmatrizen für Bildfilter

## 2.7. Beispielanwendung LBM-Simulation

Um die Performance des dreidimensionalen Stencil-Skeletts zu testen, wird als Beispielanwendung in dieser Arbeit eine Implementierung der Lattice-Boltzmann-Methode (LBM), ein Modell zur numerischen Strömungssimulation, benutzt. Die Lattice-Boltzmann-Methode simuliert die Bewegung von Gasen in einem Gitter von Zellen in diskreten Zeitschritten. Es gibt verschiedene Gitter, die mit der LBM benutzt werden können. Diese unterscheiden sich durch ihre Dimensionalität (zwei- oder dreidimensional) und dadurch, welche der Zellen im Umfeld einer Ausgangszelle als Nachbarzellen betrachtet werden, also in welche Zellen Luftteilchen strömen können. Die verschiedenen Gitter werden nach dem Muster DdQq benannt, wobei d die Dimension und q die Anzahl der Nachbarzellen angibt.

Jede Zelle besitzt eine Verteilungsfunktion, welche angibt, was mit den Luftteilchen innerhalb der Zelle im nächsten Zeitschritt geschieht. Die Luftteilchen können in eine der Nachbarzellen übergehen oder in der Zelle bleiben.

Ein Simulationsschritt der LBM besteht aus zwei Phasen: der Kollisionsphase und der Strömungsphase. In der Kollisionsphase interagieren und kollidieren die in der Strömungsphase in jede Zelle eingeströmten Luftströme miteinander, wodurch sich eine neue Verteilungsfunktion ergibt. In der Strömungsphase strömen die Luftteilchen entsprechend der Verteilungsfunktion in ihre Nachbarzellen.

Die Verteilungsfunktion  $f_i(x, t)$  gibt für eine Zelle  $x$  und einen Zeitpunkt  $t$  an, wie viele Luftteilchen sich im nächsten Zeitschritt zum  $i$ -ten Nachbarn bewegen werden. Der nullte Nachbar bezeichnet dabei die Zelle selbst.

Es gibt verschiedene mögliche Kollisionsoperatoren, die innerhalb der Lattice-Boltzmann-Methode benutzt werden können. In der folgenden Gleichung wird der Bhatnagar-Gross-Krook (BGK)-Operator benutzt, um den Kollisionsschritt zu definieren:

$$f_i^*(x, t) := f_i(x, t) - \frac{\Delta t}{\tau} (f_i(x, t) - f_i^{\text{eq}}(x, t)). \quad (2.1)$$

Hierbei ist  $f_i^*$  die Verteilungsfunktion nach dem Kollisionsschritt,  $\Delta t$  der Zeitschritt, der in jedem Simulationsschritt simuliert werden soll und  $\tau$  eine Konstante, die angibt, wie

schnell sich die Simulation einem Gleichgewichtszustand annähert. Damit beeinflusst  $\tau$  die Viskosität der Gase. Der Gleichgewichtszustand wird berechnet durch

$$f_i^{\text{eq}}(x, t) := w_i \rho \left( 1 + \frac{u \cdot c_i}{c_s^2} + \frac{u \cdot c_i}{2c_s^4} + \frac{u \cdot u}{2c_s^2} \right), \quad (2.2)$$

wobei  $w_i$  von dem gewählten Gitter abhängende Gewichte und  $c_i$  die Positionen der Nachbarzellen relativ zur Ursprungszelle sind. Die Konstante  $c_s$  bezeichnet die Schallgeschwindigkeit innerhalb des Modells. Die Massendichte  $\rho$  und die Impulsdichte  $u$  sind angegeben durch

$$\rho(x, t) = \sum_i f_i(x, t), \quad \rho u(x, t) := \sum_i c_i f_i(x, t). \quad (2.3)$$

Der Strömungsschritt erzeugt die nächste Verteilungsfunktion  $f_i$  und ist durch

$$f_i(x + c_i \Delta t, t + \Delta t) := f_i^*(x, t) \quad (2.4)$$

definiert. [16, S. 61-68]



### 3. Implementierung des dreidimensionalen Stencil-Skeletts

#### 3.1. Bestehende Implementierung des DistributedCube

Der DistributedCube (DC) stellt in Muesli eine dreidimensionale Würfelförmige Datenstruktur dar, dessen Verarbeitung auf verschiedene Rechner und GPUs verteilt werden kann.

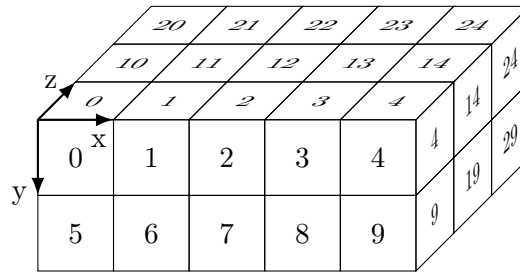


Abbildung 3.1: Indexierung eines DistributedCubes mit Breite 5, Höhe 2 und Tiefe 3

Für die Implementierung des Stencil-Skeletts sind einige Eigenschaften des DistributedCube wichtig:

- Die Klasse `DC<T>` des `DistributedCube` ist ein Template, wobei `T` den Typen des in jeder Zelle gespeicherten Elementes bezeichnet.
- In `int ncol`, `nrow`, `depth` werden die Abmessung des Würfels in die x-, y-, und z-Dimension gespeichert.
- `T* localPartition` ist ein Pointer zu der Speicherregion, die alle Elemente des Verteilten Würfels auf dem aktuellen Rechner enthält.  
Der Index einer Zelle ist dabei anhand ihrer Koordinaten wie folgt zu berechnen:  
$$i(x, y, z) := z \cdot nrow \cdot ncol + y \cdot ncol + x.$$
- `bool cpuMemoryInSync` besagt, ob die Daten in `localPartition` derzeit aktuell sind, oder ob sich neuere Daten auf den GPUs befinden.
- `int ng` spezifiziert die Anzahl der GPUs, auf die die Datenverarbeitung aufgeteilt werden soll.
- `GPUExecutionPlan<T>* plans` ist ein Pointer zu einem Array der Größe `ng`, welches für jede GPU spezifiziert, welche Daten von dieser bearbeitet werden sollen. Dabei enthält jeder `GPUExecutionPlan<T>` unter anderem:
  - `int firstCol`, `firstRow`, `firstDepth` bezeichnet die Spalte, Reihe und Tiefe (also x, y, und z-Koordinate) der ersten Zelle, die auf dieser GPU bearbeitet werden soll.

- `int lastCol, lastRow, lastDepth` beschreibt die Koordinaten der letzten Zelle, die auf dieser GPU bearbeitet werden soll.
- `T* d_Data` (*device data*) zeigt auf den Speicherbereich auf der GPU, in dem die Elemente liegen.
- `T* h_Data` (*host data*) zeigt auf den Speicherbereich des Rechners, in dem die entsprechenden Elemente liegen.

## 3.2. Vorüberlegungen zur Implementierung des MapStencil-Skeletts

### 3.2.1. MapStencil-Skelett mit verteilten Daten

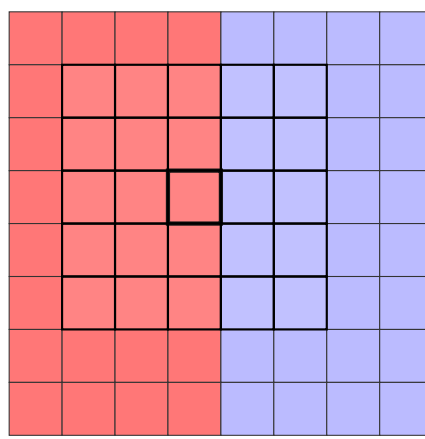
Bei dem `mapStencil`-Skelett gibt es im Vergleich mit zum Beispiel dem `map`-Skelett zusätzliche Schwierigkeiten bei der parallelen Berechnung mithilfe von GPUs. Zur parallelen Berechnung des `map`-Skeletts reicht es aus, aufzuteilen, welche Zellen auf welcher GPU berechnet werden sollen, die Ausgangsdaten der Zellen auf die jeweiligen GPUs zu kopieren, um dann den Funktor anzuwenden. In Muesli wird ein `DistributedCube` auf GPUs aufgeteilt, indem er entlang der  $z$ -Achse in gleich große Stücke bzw. Stücke mit gleicher Anzahl an  $xy$ -Ebenen „geschnitten“ wird.

Bei dem `mapStencil`-Skelett muss andererseits bedacht werden, dass für die Berechnung von Zellen, die am Rande des Bereiches einer GPU liegen, auch Nachbarzellen herangezogen werden müssen, welche in dem Bereich einer anderen GPU liegen, wie man in Abb. 3.2 sehen kann. Aus diesem Grund müssen zusätzlich die Nachbarebenen jeder GPU als Puffer mitkopiert werden. Wie viele Ebenen jeweils zusätzlich kopiert werden müssen, definiert der Radius vom Stencil.

### 3.2.2. GPUs und Funktionen höherer Ordnung

Skelette sind von Natur aus Funktionen höherer Ordnung, also Funktionen, die andere Funktionen als Parameter erwarten [17, Kap. 2.2]. In C++ werden Funktionen als Parameter standardmäßig mit dem Übergeben von Funktionspointern realisiert. Doch in der GPU-Programmierung kommt dort ein Problem auf: Wird ein Funktionspointer erstellt, indem die Funktion auf der CPU referenziert wird, so zeigt der Pointer auf die Stelle im Arbeitsspeicher des Rechners. Wird der Pointer an die GPU übergeben und mit ihm versucht die Funktion aufzurufen, so scheitert dies, da die GPU nicht auf den Arbeitsspeicher des Rechners zugreifen kann und der Pointer auf ungültigen Speicher zeigt.

Daten benötigt auf **erster** GPU



Daten benötigt auf **zweiter** GPU

Abbildung 3.2: Verteilte Datenstruktur auf zwei GPUs mit Stencil von Radius 2 um (4,4).

Einen möglichen Lösungsansatz stellt die Funktion `cudaMemcpyFromSymbol` dar, mit welcher der Inhalt einer `__device__`-qualifizierten Variable von der GPU in den Arbeitsspeicher kopiert werden kann. In Programmausschnitt 3.1 ist ein beispielhaftes Vorgehen zur Übergabe von Funktionspointern zur GPU aufgezeigt.

In Zeile 1 wird der Übersichtlichkeit halber der Typ eines Pointers zu einer Funktion, die keine Parameter erwartet und eine Ganzzahl zurückgibt, als `func_return_int_t` bezeichnet. In Zeile 7 wird eine globale `__device__`-Variable mit einem Pointer auf die `userfunktion` in Zeile 3-5 initialisiert. Dadurch, dass die Variable in der GPU residiert, wird der Funktionspointer auch auf die Funktion im Speicher der GPU liegen. Die Adresse der `userfunktion` wird in Zeile 16 zunächst in die lokale Variable `gpu_op` kopiert, um dann in Z. 17 die Kernelfunktion mit einem Thread und `gpu_op` als Parameter zu starten. In der Kernelfunktion selbst ist die Funktion als Parameter aufgelistet, und wird wie eine normale Funktion in Z. 10 aufgerufen.

```

1 using func_return_int_t = int (*)();
2
3 __device__ int userfunction() {
4     return 42;
5 }
6
7 __device__ func_return_int_t pUserfunction = userfunction;
8
9 __global__ void kernel(func_return_int_t func) {
10     int n = func();
11     printf("%i\n", n);

```

```

12 }
13
14 int main() {
15     func_return_int_t gpu_op;
16     cudaMemcpyFromSymbol(&gpu_op, pUserfunction, sizeof(pUserfunction));
17     kernel<<<1, 1>>>(gpu_op); // Output: 42
18 }

```

Programmausschnitt 3.1: Funktion als Parameter per Funktionspointer

Es fällt auf, dass bei diesem Ansatz nicht nur der Funktor selbst definiert werden muss, sondern zusätzlich eine `__device__`-Variable, welche auf die Funktion zeigt, was eine zusätzliche Unannehmlichkeit für den Endbenutzer bedeutet. Im Programmausschnitt 3.2 folgt eine Möglichkeit, wie Templates ausgenutzt werden können, um eine elegantere Variante zu programmieren. So ist die Kernelfunktion in Z. 8 ein Template, welches eine Funktion erwartet. Dadurch wird `kernel<userfunction>` in Z. 14 beim Kompilieren zu einer Funktion, welche keine Parameter entgegennimmt, und die `userfunction` aufruft.

```

1 using func_return_int_t = int (*);
2
3 __device__ int userfunction() {
4     return 42;
5 }
6
7 template <func_return_int_t func>
8 __global__ void kernel() {
9     int n = func();
10    printf("%i\n", n);
11 }
12
13 int main() {
14     kernel<userfunction><<<1, 1>>>(); // Output: 42
15 }

```

Programmausschnitt 3.2: Funktion als Parameter per Templateargument

Diese Methode ist für den Endnutzer deutlich einfacher zu handhaben, und wird deshalb in Muesli benutzt.

### 3.3. Implementierung des MapStencil-Skeletts

Beim Aufruf des `mapStencil`-Skeletts wird zusätzlich zu dem Funktor mit der in Programmausschnitt 3.3 beschriebenen Methodensignatur auch die Größe des Stencils und der neutrale Wert vom Typ `T` übergeben. Dieser bestimmt den Wert der Zellen von Stencils, die außerhalb der Datenstruktur liegen.

Um das Ergebnis für eine Zelle zu berechnen, wird der Funktor mit einer Koordinate und einem Objekt der Klasse `PLCube` (*PaddedLocalCube*) aufgerufen.

```

1  template <typename T>
2  using DCMaPStencilFunctor = T(*)(&const PLCube<T> &cs,
3                                  int x, int y, int z);

```

Programmausschnitt 3.3: Definition des Typenalias DCMaPStencilFunctor

### 3.3.1. Die Klasse PaddedLocalCube

Die Klasse `PLCube` (*PaddedLocalCube*) stellt für den Funktor die Schnittstelle zu der Datenstruktur dar. Mit diesem kann für alle Zellen im angegebenen Stencilradius um die übergebenen Koordinaten der Wert der Datenstruktur abgefragt werden. Ein `PLCube` speichert eine Referenz zum Datenbereich einer GPU, und verwaltet zusätzlich die Puffer mit Daten der beiden anliegenden Datenbereiche. Die Klasse besitzt die folgenden Eigenschaften:

- `int width, height, depth`: die Abmessungen der gesamten Datenstruktur.
- `int stencilSize`: die Stencilgröße, für die der `PLCube` angelegt wurde. Je größer der Stencil, desto größer müssen die Datenpuffer sein.
- `T neutralValue`: der Wert, der für Zellen außerhalb der Datenstruktur zurückgegeben werden soll.
- `int dataStartIndex`: der Index der Datenstruktur, an dem der Datenbereich dieser GPU beginnt.
- `int dataEndIndex`: der Index der Datenstruktur, an dem der Datenbereich dieser GPU endet.
- `int topPaddingStartIndex`: der Index der Datenstruktur, an dem der notwendige nach oben angrenzende Puffer beginnt. Der Puffer endet an `dataStartIndex-1`.
- `int bottomPaddingEndIndex`: der Index der Datenstruktur, an dem der notwendige nach unten angrenzende Puffer endet. Der Puffer beginnt an `dataEndIndex+1`.
- `T* data`: ein Pointer, der auf den Anfang des Datenbereiches zeigt, für den diese GPU verantwortlich ist.
- `T* topPadding, T* bottomPadding`: Pointer, die auf den Anfang der nach oben und unten angrenzenden Puffer zeigen.

```

1  PLCube(int width, int height, int depth, std::array<int, 3> start,
2        std::array<int, 3> end, int device, int stencilSize, T neutralValue,
3        T *data)
4      : width(width), height(height), depth(depth),
5        stencilSize(stencilSize), neutralValue(neutralValue),
6        dataStartIndex(msl::PLCube<T>::coordinateToIndex(start)),
7        dataEndIndex(msl::PLCube<T>::coordinateToIndex(end)),
8        topPaddingStartIndex(msl::PLCube<T>::coordinateToIndex(

```

```

9         std::max(start[0] - stencilSize, 0),
10        std::max(start[1] - stencilSize, 0),
11        std::max(start[2] - stencilSize, 0)
12    )),
13    bottomPaddingEndIndex(msl::PLCube<T>::coordinateToIndex(
14        std::min(end[0] + stencilSize, width - 1),
15        std::min(end[1] + stencilSize, height - 1),
16        std::min(end[2] + stencilSize, depth - 1)
17    )),
18    data(data) {
19    #ifdef __CUDACC__
20        cudaSetDevice(device);
21        cudaMalloc(&topPadding,
22            (dataStartIndex - topPaddingStartIndex) * sizeof(T));
23        cudaMalloc(&bottomPadding,
24            (bottomPaddingEndIndex - dataEndIndex) * sizeof(T));
25    #endif
26    }

```

Programmausschnitt 3.4: Konstruktor der Klasse PLCube

```

1 MSL_USERFUNC inline int coordinateToIndex(int x, int y, int z) const {
2     return (z * height + y) * width + x;
3 }

```

Programmausschnitt 3.5: Funktion coordinateToIndex der Klasse PLCube

Im Konstruktor, abgebildet in Programmausschnitt 3.4, werden die Klassenvariablen `width`, `height`, `depth`, `stencilSize`, `neutralValue` und `data` auf die jeweils entsprechenden übergebenen Argumente gesetzt. Der Konstruktor erwartet außerdem die Start- und Endkoordinaten als Array von drei Integers. Mithilfe von `coordinateToIndex` (Programmausschnitt 3.5) werden diese in Indices umgewandelt und in `dataStartIndex` und `dataEndIndex` geschrieben. Als nächstes wird der `topPaddingStartIndex` in Z. 8-12 berechnet, indem von allen drei Dimensionen der übergebenen Startkoordinate `stencilSize` abgezogen wird und außerdem sichergestellt wird, dass die resultierenden x-, y- und z-Werte mindestens 0 betragen, und sich somit innerhalb der Datenstruktur befinden. Analog dazu wird der `bottomPaddingEndIndex` in Z. 13-17 berechnet, indem zu allen drei Werten der übergebenen Endkoordinate `stencilSize` hinzuaddiert wird und zusätzlich sichergestellt wird, dass die resultierenden x-, y- und z-Werte maximal `width - 1`, `height - 1` und `depth - 1` betragen. Am Ende wird mittels `cudaMalloc` jeweils ein Speicherabschnitt für den oberen und unteren Puffer allokiert.

```

1 MSL_USERFUNC T operator() (int x, int y, int z) const {
2     if (x < 0 || y < 0 || z < 0 || x >= width || y >= height || z >= depth) {
3         return neutralValue;
4     }
5     int index = coordinateToIndex(x, y, z);
6     if (index >= dataStartIndex) {
7         if (index > dataEndIndex) {

```

```

8         return bottomPadding[index - dataEndIndex - 1];
9     } else {
10        return data[index - dataStartIndex];
11    }
12 } else {
13     return topPadding[index - topPaddingStartIndex];
14 }
15 }

```

Programmausschnitt 3.6: `operator()` der Klasse `PLCube`

Der `operator()`, abgebildet in Programmausschnitt 3.6, wird benutzt, um für eine gegebene Koordinate den entsprechenden Zellenwert des `DistributedCube` abzufragen. Für den Fall, dass die Koordinaten außerhalb der Datenstruktur liegen, wird in Z. 3 die dafür spezifizierte `neutralValue` übergeben. Wenn die Koordinaten innerhalb der Datenstruktur liegen, wird in Z. 5 der Index der geforderten Zelle berechnet, und anschließend überprüft, ob sich die Zelle im primären Datenbereich, oder im oberen oder unteren Datenpuffer befindet. In jedem Fall wird durch Abziehen des Startindex des jeweiligen Datenbereiches vom Index der Zelle der relative Index innerhalb des Datenbereiches berechnet und so der Wert der gewünschten Zelle zurückgegeben.

```

1 MSL_USERFUNC int3 indexToCoordinate(int i) const {
2     int x = i % width;
3     i /= width;
4     int y = i % height;
5     int z = i / height;
6     return {x, y, z};
7 }

```

Programmausschnitt 3.7: Funktion `indexToCoordinate` der Klasse `PLCube`

Die Funktion `indexToCoordinate` berechnet die 3D-Koordinate für einen gegebenen Index einer Datenstruktur, also die Inverse von `coordinateToIndex`. Da  $i(x, y, z) = (z \cdot \text{height} + y) \cdot \text{width} + x$ , gilt

$$\begin{aligned}
 x(i) &:= i \bmod \text{width} \\
 y(i) &:= \left\lfloor \frac{i}{\text{width}} \right\rfloor \bmod \text{height} \\
 z(i) &:= \left\lfloor \frac{i}{\text{width} \cdot \text{height}} \right\rfloor
 \end{aligned}$$

```

1 [[nodiscard]] inline int getTopPaddingElements() const {
2     return dataStartIndex - topPaddingStartIndex;
3 }
4
5 [[nodiscard]] inline int getBottomPaddingElements() const {
6     return bottomPaddingEndIndex - dataEndIndex;
7 }

```

```
7 }
```

Programmausschnitt 3.8: Funktionen `getTopPaddingElements` und `getBottomPaddingElements` der Klasse `PLCube`

Zusätzlich enthält `PLCube` die Hilfsmethoden `getTopPaddingElements` und `getBottomPaddingElements`, welche die Größe des oberen und unteren Datenpuffers durch Subtraktion der jeweiligen begrenzenden Indizes berechnen.

### 3.3.2. MapStencil-Implementierung

Für die Umsetzung des `MapStencil`-Skeletts erhält die Klasse `DC` zwei neue Variablen:

- `std::vector<PLCube<T>> plCubes`: ein `PLCube` für jede GPU, der dem Funktor übergeben wird, um dort Zugriff auf die Werte der Datenstruktur zu geben.
- `int supportedStencilSize`: die Stencilgröße, für die die `plCubes` initialisiert wurden. Je größer der Stencil, desto größer müssen die Datenpuffer sein.

Die Funktion `mapStencil` (Programmausschnitt 3.9) ist ein Template, welches zusätzlich zu dem durch die Klasse `DistributedCube` vorgegebenen Templateargument `T` auch das Argument `DCMapStencilFunctor<T> f` erwartet. Dieses ist, wie in Programmausschnitt 3.3 gezeigt, eine Funktion, welche einen `PLCube<T>` und 3D-Koordinaten als Parameter erwartet, und dafür einen Wert vom Typen `T` zurückgibt. Als Funktionsparameter müssen an `mapStencil` die Datenstruktur, in welche das Ergebnis der Operation geschrieben werden soll, die Größe des Stencils und der neutrale Wert vom Typ `T` übergeben werden.

```
1 template<typename T>
2 template<msl::DCMapStencilFunctor<T> f>
3 void msl::DC<T>::mapStencil(
4     msl::DC<T> &result, size_t stencilSize, T neutralValue) {
5     #ifdef __CUDACC__
6         this->updateDevice();
7         syncPLCubes(stencilSize, neutralValue);
8         msl::syncStreams();
9         Muesli::start_time = MPI_Wtime(); // For performance testing.
10        for (int i = 0; i < this->ng; i++) {
11            cudaSetDevice(i);
12            dim3 dimBlock(Muesli::threads_per_block);
13            dim3 dimGrid((this->plans[i].size + dimBlock.x - 1) / dimBlock.x);
14            PLCube<T> cube = this->plCubes[i];
15            detail::mapStencilKernelDC<T, f><<<
16                dimGrid, dimBlock, 0, Muesli::streams[i]>>>(
17                result.plans[i].d_Data, cube, result.plans[i].size);
18        }
19        msl::syncStreams();
20        result.setCpuMemoryInSync(false);
21    #endif
```



22 }

### Programmausschnitt 3.9: Funktion `mapStencil` der Klasse DC

In der Funktion `mapStencil` wird in Z. 6 mithilfe von `updateDevice()` zuerst sichergestellt, dass die Daten auf der GPU aktualisiert werden, falls im Arbeitsspeicher aktuellere Daten vorliegen. Als nächstes wird die Methode `syncPLCubes` aufgerufen, welche gegebenenfalls den Datenpuffer nach oben und unten erstellt und aktualisiert.

```
1 void syncPLCubes(int stencilSize, T neutralValue) {
2     if (stencilSize > supportedStencilSize) {
3         freePLCubes();
4         initPLCubes(stencilSize, neutralValue);
5     }
6     for(int i = 1; i < this->ng; i++) {
7         size_t bottomPaddingSize =
8             plCubes[i - 1].getBottomPaddingElements() * sizeof(T);
9         gpuErrchk(cudaMemcpyAsync(
10             plCubes[i - 1].bottomPadding,
11             plCubes[i].data,
12             bottomPaddingSize,
13             cudaMemcpyDeviceToDevice,
14             Muesli::streams[i - 1]
15         ));
16
17         size_t topPaddingSize =
18             plCubes[i].getTopPaddingElements() * sizeof(T);
19         gpuErrchk(cudaMemcpyAsync(
20             plCubes[i].topPadding,
21             plCubes[i - 1].data + (
22                 this->plans[i - 1].size - plCubes[i].getTopPaddingElements()
23             ),
24             topPaddingSize,
25             cudaMemcpyDeviceToDevice,
26             Muesli::streams[i]
27         ));
28     }
29     msl::syncStreams();
30 }
```

### Programmausschnitt 3.10: Funktion `syncPLCubes` der Klasse DC

In `syncPLCubes` (Programmausschnitt 3.10) wird in Z. 2 durch einen Vergleich des übergebenen Parameters `stencilSize` mit der Klassenvariable `supportedStencilSize` überprüft, ob die `plCubes` mit einer passenden Puffergröße erzeugt wurden. Ist dies nicht der Fall, so werden eventuell bereits bestehende `plCubes` mithilfe von `freePLCubes` gelöscht und anschließend mit `initPLCubes` (Programmausschnitt 3.11) die `plCubes` mit der richtigen Größe erzeugt.

```
1 void initPLCubes(int stencilSize, T neutralValue) {
```

```

2   plCubes = std::vector<PLCube<T>>>();
3   plCubes.reserve(this->ng);
4   for (int i = 0; i < this->ng; i++) {
5       plCubes.push_back(PLCube<T>(<
6           this->ncol, this->nrow, this->depth,
7           {
8               this->plans[i].firstCol,
9               this->plans[i].firstRow,
10              this->plans[i].firstDepth
11          },
12          {
13              this->plans[i].lastCol,
14              this->plans[i].lastRow,
15              this->plans[i].lastDepth
16          },
17          i,
18          stencilSize,
19          neutralValue,
20          this->plans[i].d_Data
21      ));
22   }
23   supportedStencilSize = stencilSize;
24 }

```

Programmausschnitt 3.11: Funktion `initPLCubes` der Klasse `DC`

Als nächstes werden in der Funktion `syncPLCubes` die Datenpuffer der GPUs aktualisiert. Dazu werden mit der CUDA-Funktion `cudaMemcpyAsync` die ersten `bottomPaddingSize` Bytes des primären Datenbereiches jeder GPU in den unteren Datenpuffer der vorherigen GPU kopiert. Genau so werden die letzten `topPaddingSize` Bytes des primären Datenbereiches jeder GPU in den oberen Datenpuffer der nächsten GPU kopiert. Dies passiert asynchron; es werden zunächst alle Kopieraufträge angelegt, um am Ende mithilfe von `msl::syncStreams()` auf den Abschluss zu warten. Dieses Verfahren erlaubt, dass die GPUs Daten parallel kopieren können.

Der nächste Schritt ist der Kernelaufruf in der Funktion `mapStencil` (Programmausschnitt 3.9). Es müssen `this->plans[i].size` Kernelthreads in einer Blockgröße von `Muesli::threads_per_block` gestartet werden. `Muesli::threads_per_block` beträgt normalerweise 1024. Um die Anzahl der nötigen Blöcke zu ermitteln, muss  $\lceil \text{plans}[i].\text{size} / \text{dimBlock.x} \rceil$  berechnet werden, was in Z. 13 durch die Ganzzahldivision (`this->plans[i].size + dimBlock.x - 1) / dimBlock.x`) geschieht. In Z. 15 wird die Kernelfunktion `mapStencilKernelDC` aufgerufen und ein Pointer, in den die Ergebnisse geschrieben werden sollen, der `PLCube` und die Anzahl der zu bearbeitenden Elemente übergeben. Da, falls die Blockgröße die Anzahl der benötigten Threads nicht gerade teilt, der letzte Block Threads enthält, deren Index über die zu bearbeitenden Elemente hinausgeht, wird in diesem Fall in der Kernelfunktion `mapStencilKernelDC` (Programmausschnitt 3.12) nach Berechnung des Threadindexes direkt abgebrochen (Z. 4-6). Ansonsten wird die globale Koordinate der zu bearbeitenden Zelle berechnet (Z. 7) und der per Templateargument spezifizierte Funktor mit dem übergebenen `PLCube` und

den errechneten Koordinatenwerten aufgerufen. Das Ergebnis des Funktors wird dann an die korrekte Position des Zielarrays geschrieben.

```

1 template <typename T, msl::DCMapStencilFunctor<T> f>
2 __global__ void mapStencilKernelDC(T *out, const PLCube<T> in, unsigned int
   size) {
3     int i = blockIdx.x * blockDim.x + threadIdx.x;
4     if (i >= size) {
5         return;
6     }
7     int3 coords = in.indexToCoordinate(in.dataStartIndex + i);
8     T v = f(in, coords.x, coords.y, coords.z);
9     out[i] = v;
10 }

```

Programmausschnitt 3.12: Funktion `mapStencilKernelDC`

In der Funktion `mapStencil` (Programmausschnitt 3.9) in Z. 19 wird mithilfe der Methode `msl::syncStreams()` auf die Beendigung der Kernelfunktionen gewartet. Zum Schluss wird in Z. 20 in der Zieldatenstruktur markiert, dass sich die aktuellen Daten auf den GPUs befinden.

### 3.4. Implementierung der Beispielanwendung LBM-Simulation in Muesli

Als Beispielanwendung wird die Lattice-Boltzmann-Methode mit dem D3Q19-Gitter implementiert. In der Literatur wird bei der LBM-Simulation im Regelfall der Kollisionsschritt vor dem Strömungsschritt aufgelistet [16, S. 61], [18, S. 169]. Da sich die beiden Schritte in einer kontinuierlichen Simulation abwechseln und die Reihenfolge in vielen Anwendungen, wie auch dieser Arbeit, nicht wichtig ist [16, S. 224], wird bei dieser Implementierung die Abfolge der Schritte invertiert, um zunächst den Strömungsschritt und dann den Kollisionsschritt effizient mit einem `mapStencil`-Aufruf ausführen zu können.

In der LBM-Simulation sollen gewisse Zellen besonders behandelt werden, sodass zum Beispiel ausgewählte Zellen als „blockiert“ markiert werden können, um den Luftfluss um statische Gegenstände zu simulieren. Außerdem wird in dieser Simulation die Verteilungsfunktion der Randzellen konstant gehalten, um einen gleichbleibenden Luftstrom zu erzeugen. Um diese Informationen zu speichern, ohne zusätzlichen Speicherplatz für jede Zelle zu benötigen, wird ein Trick angewendet: Der Wert von  $f_0$ , also die Menge der Luftteilchen, die in der Zelle bleiben werden, wird für besonders behandelte Zellen nicht benötigt. Dementsprechend werden besondere Zellen mit einem **Not a Number** (NaN) repräsentierenden Gleitkommawert in  $f_0$  markiert. Laut dem Standard IEEE-754 wird jede Gleitkommazahl mit einem maximalen Exponenten und einer von 0 verschiedenen Mantisse als NaN gedeutet [19, Kap. 3.4]. So wird für besonders zu behandelnde Zellen das hochwertigste Bit der Mantisse von  $f_0$  gesetzt, damit die Zahl definitiv als NaN verstanden wird. Die restlichen Bits der Mantisse können dann frei benutzt werden,

um andere Daten zu speichern. Im Code werden Bitmasken und ein `struct` mit Bitfields definiert, um auf diese Informationen möglichst einfach zugreifen zu können (siehe Programmausschnitt 3.13).

```

1 const int FLAG_OBSTACLE = 1 << 0;
2 const int FLAG_KEEP_VELOCITY = 1 << 1;
3
4 typedef struct {
5     unsigned int mantissa : 23;
6     unsigned int exponent : 8;
7     unsigned int sign : 1;
8 } floatparts;

```

Programmausschnitt 3.13: Definitionen, um auf Informationen in der Mantisse von NaN-Gleitkommazahlen zuzugreifen

Der Typ der Daten, die für jede Zelle gespeichert werden, ist `array<float, Q>`, wobei `Q` die Konstante 19, die Anzahl der von jeder Zelle erreichbaren anderen Zellen, ist. Für den Typ der Zellen Daten wurde ein Alias mit dem Namen `cell_t` angelegt. Da CUDA keine Implementierung von `std::array` mitliefert, wurde eine rudimentäre Version selbst implementiert (siehe Programmausschnitt A.2 im Anhang). Ebenfalls wurde ein dreidimensionaler Vektor `vec3` mit Vektoraddition, skalarer Multiplikation und Skalarprodukt implementiert (siehe Programmausschnitt A.3 im Anhang) und der Typenalias `vec3f` für `vec3<float>` festgelegt.

```

1 MSL_USERFUNC cell_t update(const PLCube<cell_t> &plCube, int x, int y, int z)
2 {
3     cell_t cell = plCube(x, y, z);
4
5     auto* parts = (floatparts*) &cell[0];
6
7     if (parts->exponent == 255) {
8         if (parts->mantissa & FLAG_KEEP_VELOCITY) {
9             return cell;
10        }
11    }
12
13    // Streaming.
14    for (int i = 1; i < Q; i++) {
15        int sx = x + (int) offsets[i].x;
16        int sy = y + (int) offsets[i].y;
17        int sz = z + (int) offsets[i].z;
18        cell[i] = plCube(sx, sy, sz)[i];
19    }
20
21    // Collision.
22    if (parts->exponent == 255) {
23        if (parts->mantissa & FLAG_OBSTACLE) {
24            cell_t cell2 = cell;
25            for (size_t i = 1; i < Q; i++) {

```

```

25         cell[i] = cell2[opposite[i]];
26     }
27 }
28     return cell;
29 }
30     float p = 0;
31     vec3f vp {0, 0, 0};
32     for (size_t i = 0; i < Q; i++) {
33         p += cell[i];
34         vp += offsets[i] * cellwidth * cell[i];
35     }
36     vec3f v = p == 0 ? vp : vp * (1 / p);
37
38     for (size_t i = 0; i < Q; i++) {
39         cell[i] = cell[i] + deltaT / tau * (feq(i, p, v) - cell[i]);
40     }
41     return cell;
42 }

```

Programmausschnitt 3.14: Funktor des `mapStencil`-Skeletts für die LBM-Simulation.

Der an das `mapStencil`-Skelett übergebene Funktor ist in Programmabschnitt 3.14 abgedruckt. Zunächst wird mit dem übergebenen `plCube` der Inhalt der Zelle an den angegebenen Koordinaten in der Variable `cell` gespeichert und ein `floatparts`-Pointer zum ersten Wert der Zelle angelegt, sodass auf die Bestandteile der Gleitkommazahl zugegriffen werden kann. Dieser Pointer wird benutzt, um in Zeile 6 zu überprüfen, ob die Zahl über einen Exponenten von 255 verfügt, und die sie somit NaN ist. Falls dies zutrifft, wird in dem Fall, dass in der Mantisse das von der `FLAG_KEEP_VELOCITY`-Bitmaske selektierte Bit gesetzt ist, der ursprüngliche Zellenwert direkt zurückgegeben, um so die Verteilungsfunktion der Zelle konstant zu halten.

In der in Z. 13 beginnenden `for`-Schleife wird der Strömungsschritt behandelt. Da  $f_0$  den Anteil der Luftteilchen angibt, die in der Zelle verweilen, verändert sich dieser Wert im Strömungsschritt nicht. Somit fängt die Schleife bei  $i = 1$  an. Die konstante Variable `array<vec3f, Q> offsets` gibt für jeden der 19 Nachbarzellen die Differenz der Koordinaten zur Ursprungszelle an. Mit dieser wird mithilfe des `plCube` der  $i$ -te Wert der Ursprungszelle auf den  $i$ -ten Wert des  $i$ -ten Nachbars gesetzt.

Falls  $f_0 = \text{NaN}$  und das Bit gesetzt ist, das von der `FLAG_OBSTACLE`-Bitmaske selektiert wird, so werden alle Luftströme in dieser Zelle reflektiert, um ein Hindernis zu simulieren. Dazu wird das `array<int, Q> opposite` benutzt, welches für jeden Richtungsindex den Index der gegenüberliegenden Richtung angibt, um jeder Komponente der Verteilungsfunktion  $f$  den Wert der gegenüberliegenden Komponente zuzuweisen. Für die Hindernis-Zelle wird dann die neu berechnete reflektierte Verteilungsfunktion zurückgegeben.

Ansonsten wird die Kollision der Luftströme mithilfe der diskretisierten Boltzmann-Gleichung, wie in Kapitel 2.7 erläutert, mit der Hilfsfunktion `feq` (Programmausschnitt 3.15) berechnet.

```

1 MSL_USERFUNC inline float feq(size_t i, float p, const vec3f& v) {
2     float wi = wis[i];
3     float c = cellwidth;
4     float dot = offsets[i] * c * v;
5     return wi * p * (1 + (1 / (c * c)) * (3 * dot + (9 / (2 * c * c)) * dot *
6         dot - (3.f / 2) * (v * v)));
7 }

```

Programmausschnitt 3.15: Gleichgewichtsfunktion `feq` für die LBM-Simulation

Die Methode `gassimulation_test` (Programmausschnitt 3.16) misst die Laufzeit der Beispielanwendung. Es werden zunächst zwei DC-Datenstrukturen der übergebenen Größe erzeugt, und die erste mit Daten initialisiert<sup>7</sup>. Als nächstes werden Pointer zu den beiden Datenstrukturen erstellt, welche im Folgenden benutzt werden. Dann wird die gewünschte Anzahl an Iterationen ausgeführt: In jeder Iteration wird die `mapStencil`-Methode des `DistributedCube` aufgerufen, auf den der erste Pointer zeigt. Der übergebene Funktor ist die `update`-Funktion und als Zieldatenstruktur wird der Würfel des zweiten Pointers angegeben. Der Stencilradius beträgt eins und der neutrale Wert ist `{}`, also ein mit Nullen gefülltes Array. Es wird die gesamte Laufzeit des Skeletts und, mithilfe der in `mapStencil` gesetzten Variable `Muesli::start_time`, die Laufzeit ohne die anfängliche Speichersynchronisation gemessen und ausgegeben. Da nun der `DistributedCube` des zweiten Pointers die aktuelleren Daten enthält, werden am Ende die beiden Pointer getauscht, sodass der erste Pointer wieder auf die Datenstruktur mit den neuen Daten zeigt und die nächste Iteration starten kann.

```

1 void gassimulation_test(vec3<int> dimension, int iterations, const std::
    string &importFile, const std::string &exportFile) {
2     size = dimension;
3
4     DC<cell_t> dc(size.x, size.y, size.z);
5
6     // Data initialization code replaced; Full code in Appendix.
7     fillWithData(dc);
8
9     DC<cell_t> dc2(size.x, size.y, size.z);
10
11     // Pointers for swapping.
12     DC<cell_t> *dcp1 = &dc;
13     DC<cell_t> *dcp2 = &dc2;
14
15     for (int i = 0; i < iterations; i++) {
16
17         double time = MPI_Wtime();
18
19         dcp1->mapStencil<update>(*dcp2, 1, {});
20
21         double endTime = MPI_Wtime();
22         double onlyKernelTime = endTime - Muesli::start_time;

```

<sup>7</sup>siehe Anhang, Programmausschnitt A.4 ab Z. 176.

```

23         double totalTime = endTime - time;
24
25         std::cout << totalTime << " / " << onlyKernelTime << std::endl;
26
27         std::swap(dcp1, dcp2);
28     }
29
30     // Export code removed.
31 }

```

Programmausschnitt 3.16: Funktion mit Aufrufs des `mapStencil`-Skeletts zur LBM-Simulation

### 3.5. Native Referenzimplementierung

Die Referenzimplementierung muss viele Aspekte der verteilten Programmierung neu entwickeln, die Muesli ohne Mehraufwand für den Benutzer bereitstellt. So berechnet die Funktion `initSimulation` (Programmausschnitt 3.16) zunächst die Verteilung der Daten auf die angegebene Anzahl der GPUs. Zur einfacheren Handhabung werden die Daten nur immer in ganzen x-y-Schichten entlang der z-Achse aufgeteilt. Da die Anzahl der GPUs die z-Dimension, also die Anzahl der Schichten, nicht teilen muss, wird neben der Anzahl der Schichten pro GPU auch die Anzahl der Schichten berechnet, die übrig bleiben. Außerdem werden zwei Arrays für die Datenstruktur im Arbeitsspeicher erstellt. Dadurch, dass die Referenzimplementierung speziell für die `mapStencil`-Anwendung geschrieben wird, kann auf der GPU für den oberen Puffer, den Hauptbereich und den unteren Puffer ein kontinuierlicher Speicherbereich belegt werden. Für jede GPU wird ein `struct` vom Typ `gpu_t` erstellt und mit folgenden Daten initialisiert:

- `int` `device`: Der Index der GPU.
- `size_t` `mainGlobalIndex`: Der globale Zellenindex, an dem der Hauptspeicherbereich anfängt.
- `size_t` `mainLayers`: Die Anzahl der Schichten, die der Hauptspeicherbereich umfasst.
- `size_t` `mainOffset`: Die Anzahl der Elemente, die der Hauptspeicherbereich vom Anfang des gesamten Speicherbereiches entfernt liegt (also die Anzahl der Elemente im oberen Puffer).
- `size_t` `bottomPaddingOffset`: Die Anzahl der Elemente, die der untere Puffer vom Anfang des gesamten Speicherbereiches entfernt liegt.
- `cell_t *data1, *data2`: Jeweils zwei komplette auf der GPU liegende Speicherbereiche für oberen und unteren Puffer und Hauptspeicherbereich, sodass sie wie in der Muesli-Anwendung abwechselnd als Quell- und als Zielspeicherbereich genutzt werden können.

Anschließend werden die Speicherbereiche mit Daten gefüllt<sup>8</sup> und mithilfe der Funktion `texttt{syncStreams}` auf die Fertigstellung der Speichertransfers zu den GPUs gewartet.

```

1 void initSimulation(size_t xdim, size_t ydim, size_t zdim, size_t gpus, const
    std::string &importFile) {
2     size = {xdim, ydim, zdim};
3     cells = xdim * ydim * zdim;
4
5     size_t layersPerGpu = zdim / gpus;
6     size_t remainder = zdim - layersPerGpu * gpus;
7     elementsPerLayer = xdim * ydim;
8     bytesPerLayer = elementsPerLayer * sizeof(cell_t);
9
10    u1 = new cell_t[cells];
11    u2 = new cell_t[cells];
12
13    streams = new cudaStream_t[gpus];
14
15    size_t currentLayer = 0;
16    gpuStructs = std::vector<gpu_t>();
17    gpuStructs.reserve(gpus);
18
19    for (int i = 0; i < gpus; i++) {
20        gpuErrchk(cudaSetDevice(i));
21        gpuErrchk(cudaStreamCreate(&streams[i]));
22        gpu_t gpu{};
23        gpu.device = i;
24        int toppaddinglayers = i > 0 ? 1 : 0;
25        int bottompaddinglayers = i < gpus - 1 ? 1 : 0;
26        gpu.mainGlobalIndex = currentLayer * elementsPerLayer;
27        gpu.mainLayers = layersPerGpu + (i < remainder ? 1 : 0);
28        gpu.mainOffset = toppaddinglayers * elementsPerLayer;
29        gpu.bottomPaddingOffset = gpu.mainOffset + gpu.mainLayers *
        elementsPerLayer;
30
31        currentLayer += gpu.mainLayers;
32
33        gpuErrchk(cudaMalloc(&gpu.data1, (gpu.mainLayers + toppaddinglayers +
        bottompaddinglayers) * bytesPerLayer));
34        gpuErrchk(cudaMalloc(&gpu.data2, (gpu.mainLayers + toppaddinglayers +
        bottompaddinglayers) * bytesPerLayer));
35        gpuStructs.push_back(gpu);
36    }
37
38    initData(); // Data initialization removed.
39
40    syncStreams();
41 }

```

Programmausschnitt 3.17: Funktion `initSimulation` der nativen Referenzimplementierung

---

<sup>8</sup>siehe Anhang, Programmausschnitt A.5 ab Z. 279.



Zur Durchführung eines Simulationsschritts werden in der Funktion `simulateStep` (Programmausschnitt 3.18) zunächst, ähnlich wie in der Muesli-Funktion `syncPLCubes`, die oberen und unteren Puffer synchronisiert (Z. 2-17). Als nächstes wird, vor dem Aufrufen der Kernelfunktion `update`, für jede GPU die Variable `time_split` gesetzt, um die Zeit des reinen Kernelaufrufs zu messen.

```

1 void simulateStep() {
2     for (int i = 1; i < gpuStructs.size(); i++) {
3         // Copy bottom padding for i - 1
4         gpuErrchk(cudaMemcpyAsync(
5             &gpuStructs[i - 1].data1[gpuStructs[i - 1].bottomPaddingOffset],
6             &gpuStructs[i].data1[gpuStructs[i].mainOffset],
7             bytesPerLayer, cudaMemcpyDefault, streams[i - 1]
8         ));
9         // Copy top padding for i
10        gpuErrchk(cudaMemcpyAsync(
11            gpuStructs[i].data1,
12            &gpuStructs[i - 1].data1[gpuStructs[i - 1].bottomPaddingOffset -
13            elementsPerLayer],
14            bytesPerLayer, cudaMemcpyDefault, streams[i]
15        ));
16    }
17    syncStreams();
18    time_split = timer.get();
19    for (auto &gpu : gpuStructs) {
20        cudaSetDevice(gpu.device);
21        dim3 threadsPerBlock(1024);
22        size_t worksize = size.x * size.y * gpu.mainLayers;
23        dim3 numBlocks(
24            (worksize + threadsPerBlock.x - 1) / threadsPerBlock.x
25        );
26        update<<<numBlocks, threadsPerBlock, 0, streams[gpu.device]>>>(
27            gpu.data2, gpu.data1, worksize, size, gpu.mainOffset /
28            elementsPerLayer
29        );
30        std::swap(gpu.data1, gpu.data2); // data1 is always pointing to up-to-
31        -date buffer.
32    }
33    std::swap(u1, u2);
34    syncStreams();
35 }

```

Programmausschnitt 3.18: Funktion `simulateStep` der nativen Referenzimplementierung

In der Kernelfunktion `update` (Programmausschnitt 3.19) muss zunächst sichergegangen werden, dass der aktuelle Thread sich an einem validen Index befindet (Z. 3-5). Außerdem müssen die Koordinaten der Zelle (Z. 6-8) und der relative Index der Zelle innerhalb der auf der GPU liegenden Arrays `dst` und `src` berechnet werden. Der folgende Code ist größtenteils analog zur Muesli-Umsetzung, abgesehen davon, dass im

Strömungsschritt in Z. 21-23 manuell geprüft werden muss, ob die Nachbarzellen tatsächlich existieren. Außerdem wird in Z. 24 direkt in das Zielarray geschrieben und mithilfe der eigens implementierten Hilfsfunktion `pack`<sup>9</sup>, welche den Index für angegebene Koordinaten ausrechnet, auf das Quellarray zugegriffen. Der Kollisionsschritt ist als eigene Methode `collisionStep`<sup>10</sup> analog zu Muesli implementiert. Der Funktion wird in Z. 26 die Zelle `dst[index]` per Referenz übergeben, sodass diese in der Methode bearbeitet werden kann.

```

1  __global__ void update(cell_t *dst, cell_t *src, const size_t worksize, const
    vec3<size_t> globalsize, const size_t zoffset) {
2      size_t i = blockIdx.x * blockDim.x + threadIdx.x;
3      if (i >= worksize) {
4          return;
5      }
6      size_t x = i % globalsize.x;
7      size_t y = (i / globalsize.x) % globalsize.y;
8      size_t z = (i / (globalsize.x * globalsize.y)) + zoffset;
9      size_t index = i + zoffset * globalsize.x * globalsize.y;
10     floatparts* parts = (floatparts*) &src[index][0];
11     if (parts->exponent == 255) {
12         if (parts->mantissa & FLAG_KEEP_VELOCITY) {
13             dst[index] = src[index];
14             return;
15         }
16     }
17     for (int i = 0; i < Q; i++) {
18         int sx = x + (int) offsets[i].x;
19         int sy = y + (int) offsets[i].y;
20         int sz = z + (int) offsets[i].z;
21         if (sx < 0 || sy < 0 || sz < 0 || sx >= globalsize.x || sy >=
globalsize.y || sz >= globalsize.z) {
22             continue;
23         }
24         dst[index][i] = src[pack(globalsize.x, globalsize.y, globalsize.z, sx
, sy, sz)][i];
25     }
26     collisionStep(dst[index]);
27 }

```

Programmausschnitt 3.19: Kernelfunktion `update` der nativen Referenzimplementierung

Nach dem Kernelaufruf wird in `simulateStep` (Programmausschnitt 3.18) in Z. 29 und 31 sowohl die Pointer der GPU-Speicherbereiche, als auch die Pointer der Arrays im Arbeitsspeicher getauscht.

<sup>9</sup>siehe Anhang, Programmausschnitt A.5, ab Z. 103

<sup>10</sup>siehe Anhang, Programmausschnitt A.5, ab Z. 114

## 3.6. Optimierung

### 3.6.1. Muesli

Der `operator()` des `PLCube<T>` kann, statt einem Objekt vom Typ `T`, auch eine konstante Referenz zum Objekt zurückgeben. Mit dieser Optimierung muss das übergebene Objekt nicht kopiert werden, was insbesondere bei Objekten mit vergrößertem Speicherbedarf zu einer Leistungsverbesserung führen kann. Zur Implementierung der Optimierung muss lediglich die Methodensignatur von Z. 1 zu Z. 2 des Programmausschnitts 3.20 geändert werden.

```
1 MSL_USERFUNC T operator() (int x, int y, int z) const // vorher
2 MSL_USERFUNC const T& operator() (int x, int y, int z) const // nachher
```

Programmausschnitt 3.20: Veränderte der Methodensignatur des `operator()` des `PLCube<T>`

### 3.6.2. Nativ

In der `update`-Funktion der nativen Umsetzung der LBM-Simulation wird vielfach in das `dst`-Array geschrieben; sowohl in Z. 24 in der `update`-Funktion selbst, als auch in der Funktion `collisionStep`, werden jeweils Komponentenweise die Werte der Zelle gesetzt. Hierbei eignet es sich, stattdessen in eine lokale Variable zu schreiben, welche in einem Register mit geringerer Latenz liegt und erst am Ende einmalig den Wert in das `dst`-Array zu kopieren. Also wird eine lokale Variable `cell_t dest = src[index]` definiert und auf diese, statt auf `dst[index]` zugegriffen. Da `dest[0]` nun schon den Wert von `src[index][0]` besitzt, kann der Strömungsschritt mit `i = 1` starten. Am Ende werden mithilfe von `dst[index] = dest` die Änderungen in das Zielarray geschrieben (vgl. Anhang, Programmausschnitt A.5 Z. 148-170).

## 4. Leistungsanalyse

Zur Analyse der Performance von Muesli und der nativen Referenzimplementierung wird die Laufzeit von 200 Iterationen der LBM-Simulation gemessen. Die Messungen wurden in dem Hochleistungscluster PALMA II<sup>11</sup> der Universität Münster auf drei unterschiedlichen Rechnerknoten ausgeführt:

- AMD EPYC 7513 CPU mit 8x Nvidia GeForce RTX 2080 Ti mit jeweils 11 GB GDDR6
- AMD EPYC 7343 CPU mit 4x Nvidia Titan RTX mit jeweils 24 GB GDDR6
- AMD EPYC 7343 CPU mit 8x Nvidia A100 mit jeweils 80 GB HBM

Dabei wird die Anzahl der GPUs, die zur Berechnung benutzt werden, sowie die Größe der Datenstruktur, mit der die Berechnungen ausgeführt werden, variiert. Als Größe der Datenstruktur wird immer ein Würfel gewählt, sodass die Seitenlängen des `Distributed-Cube` in allen drei Dimensionen gleich sind. Dementsprechend wird im Folgenden die Größe der Datenstrukturen immer durch die Seitenlänge angegeben. Die maximal mögliche Größe ist dabei begrenzt durch den Speicher der Grafikkarten. Jede Zelle `cell_t` nimmt 19 32-Bit-Gleitkommazahlen, also 76 Bytes in Anspruch. Da eine Quell- und eine Zieldatenstruktur benötigt werden, können also, abhängig von der Speichergröße in GB, theoretisch Datenstrukturen mit einer Seitenlänge von bis zu

$$d(\text{gb}) := \sqrt[3]{\text{gb} \cdot \frac{2^{30}}{2 \cdot 76}}$$

behandelt werden. So ergibt sich für eine Grafikkarte als theoretische maximale Seitenlänge für die RTX 2080 Ti **426**, für die Titan RTX **553** und für die A100 **826**. Die Werte werden in der Realität nicht genau den theoretischen entsprechen; sie schaffen aber trotzdem einen guten Überblick über die Größenordnung der Grafikkarten. Wenn mehrere Grafikkarten zur Berechnung eingesetzt werden, können natürlich auch größere Datenstrukturen behandelt werden. Alle gemessenen Laufzeitdaten sind in Anhang B zu finden.

### 4.1. Vor der Optimierung

Bei dem Vergleich der Laufzeiten der LBM-Simulation mithilfe des `mapStencil`-Skeletts in Muesli und der nativen Referenzimplementierung mit einer Grafikkarte fällt zunächst auf, dass sich die Laufzeiten wie angenommen etwa kubisch zur Seitenlänge der Datenstrukturen entwickeln. Der Ausführungszeitraum des Muesli-Skeletts beträgt auf der Nvidia A100 das rund 1,34-Fache der nativen Implementierung. Entgegen der Erwartungen ist die Referenzimplementierung auf der Nvidia GeForce RTX 2080 Ti und der

---

<sup>11</sup><https://www.uni-muenster.de/IT.Technik/Server/HPC.html>

Nvidia Titan RTX allerdings sogar minimal langsamer als die Muesli-Alternative (siehe Abbildung 4.1).

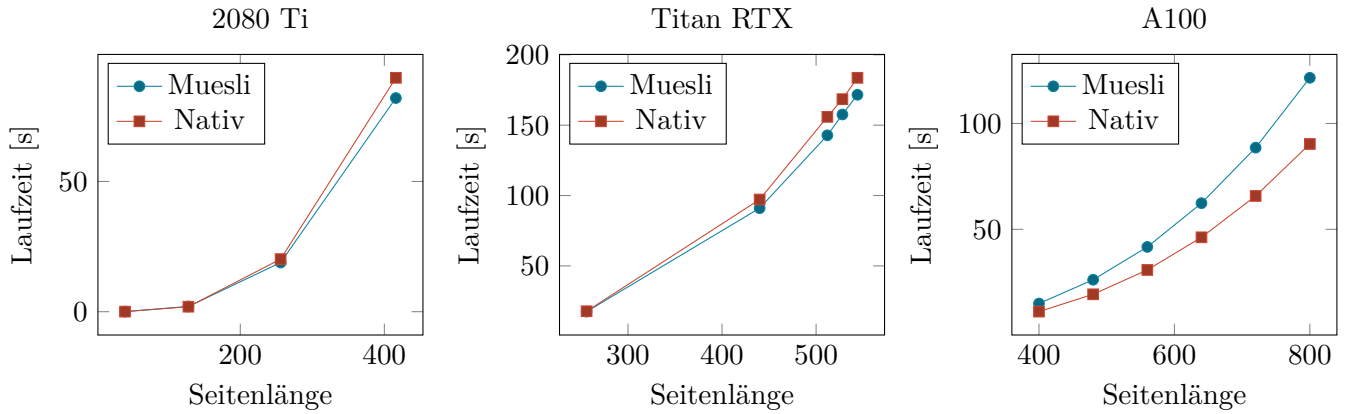


Abbildung 4.1: Laufzeit des `mapStencil`-Skeletts und der Referenzimplementierung ohne Optimierung nach Datenstrukturgröße auf jeweils einer GPU

## 4.2. Nach der Optimierung

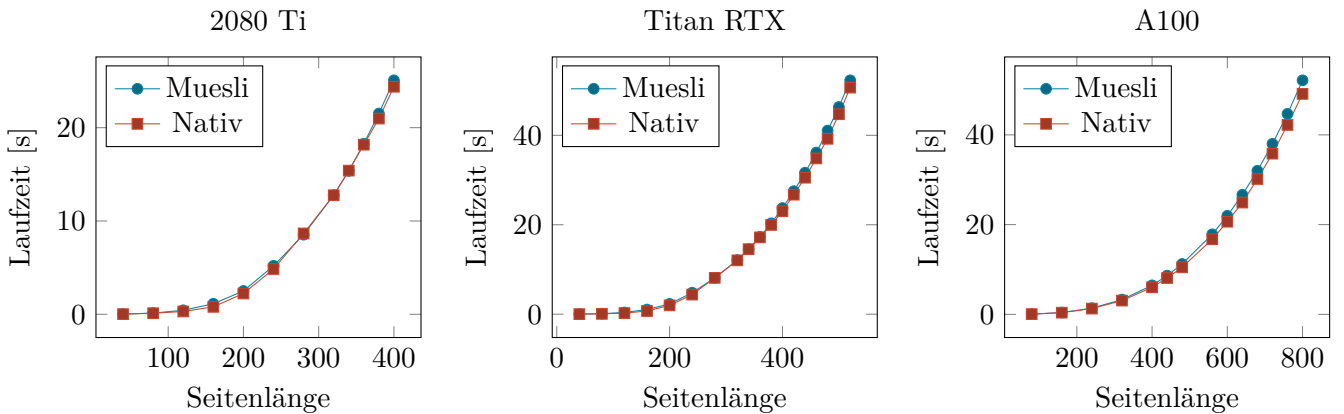


Abbildung 4.2: Laufzeit des `mapStencil`-Skeletts und der Referenzimplementierung mit Optimierung nach Datenstrukturgröße auf jeweils einer GPU

Beim Messen der Laufzeiten der optimierten Anwendungen (Abbildung 4.2) fällt bei allen drei Grafikkarten eine deutliche Verbesserung sowohl bei Muesli als auch bei der nativen Implementierung auf: Bei dem Beispiel eines Würfels mit Seitenlänge 440 auf der Nvidia Titan RTX reduziert sich die Laufzeit von Muesli von 91.03s um 65.24% auf 31.64s und bei der nativen Referenzimplementierung von 97.19s um 68.60% auf 30.52s. Bemerkenswert ist, dass nun auf allen Grafikkarten die Referenzimplementierung etwas

schneller als Muesli ausgeführt wird. Mit diesem Wissen lassen sich die Unterschiede zwischen den Grafikkarten bei den Messungen vor der Optimierung erklären: Die Verbesserung bei der nativen Implementierung entstand durch die Reduktion von Schreibzugriffen auf den GPU-Speicher. Die Nvidia A100 zeichnet sich durch eine sehr schnelle Speichieranbindung aus [20], sodass die vielen Schreibvorgänge der unoptimierten nativen Implementierung die Laufzeit auf dieser Grafikkarte weniger stark beeinflusst hat, als es bei den anderen beiden Grafikkarten der Fall war.

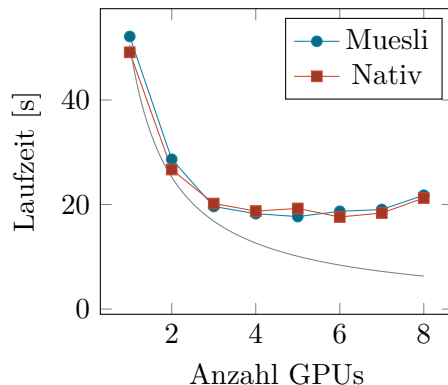


Abbildung 4.3: Laufzeit des `mapStencil`-Skeletts und der Referenzimplementierung mit Optimierung nach GPU-Anzahl mit einer Würfellänge von 800 auf der Nvidia A100

Zur Analyse der Leistung der Implementierungen auf mehreren GPUs sind in Abbildung 4.3 die Laufzeiten von Muesli und der nativen Implementierung in Abhängigkeit zur Anzahl der benutzten GPUs abgebildet. Theoretisch ist es möglich, dass bei der Verwendung von  $n$  GPUs die Laufzeiten auf das  $1/n$ -fache der Laufzeit einer GPU reduziert werden. Diese optimale Laufzeit wird in der Abbildung als graue Linie dargestellt.

Bei einer Würfellänge von 800 zeigt die Ausnutzung von bis zu drei Nvidia A100 deutliche Beschleunigungen: So wird die Laufzeit mit zwei GPUs fast halbiert ( $\times 0.55$  bei Muesli,  $\times 0.54$  bei der Referenzimplementierung). Mit drei GPUs beträgt die Laufzeit bei Muesli das 0.38-Fache, bei der Referenzimplementierung das 0.41-Fache der jeweiligen Laufzeit mit einer GPU. Mit vier GPUs wird bei beiden Anwendungen nur noch eine minimale Beschleunigung gegenüber drei GPUs erreicht. Ab sechs GPUs steigt die Laufzeit mit zunehmender GPU-Anzahl wieder an.

In Abbildung 4.4 sind zusätzlich zu den Laufzeiten aus Abbildung 4.3 auch die Dauer der initialen Speichersynchronisation und die Dauer des reinen Kernelaufrufs aufgezeigt. Dabei ist ersichtlich, dass die Laufzeit des Kernels, sowohl bei Muesli als auch bei der Referenzimplementierung, nur minimal von der theoretisch optimalen Laufzeit abweicht. Die Zeit der Speichersynchronisation steigt mit zunehmender Anzahl an GPUs in etwa linear an. Dabei ist der Anstieg nicht konsistent, was auch eine Erklärung für die Tatsache ist, dass in Abbildung 4.3 die native Referenzimplementierung bei drei, vier und fünf

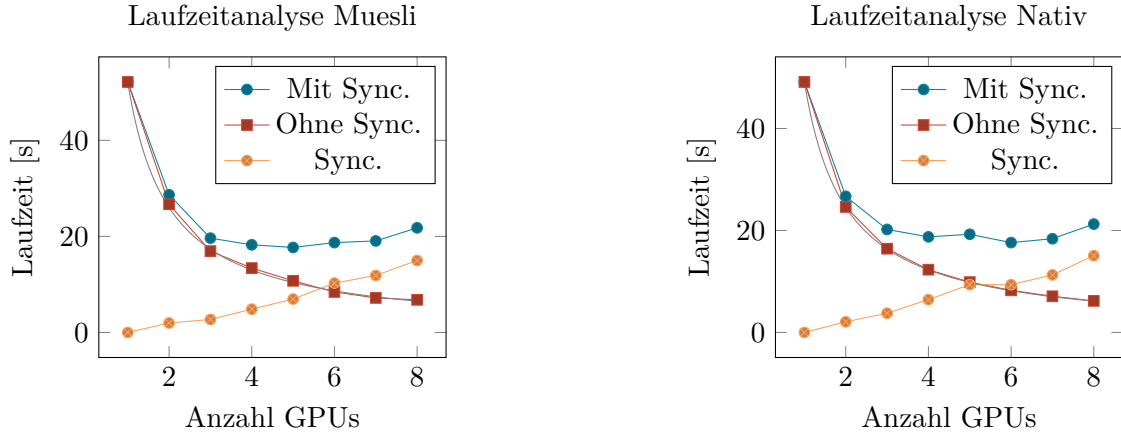


Abbildung 4.4: Aufspaltung der Laufzeiten aus Abbildung 4.3

GPUs etwas langsamer als die Implementierung mit Muesli läuft. Da sich die Laufzeit beider Kernel sich proportional zu  $1/n_{GPUs}$  verhält, also mit zunehmender Anzahl an GPUs immer weniger Laufzeit eingespart wird, und gleichzeitig mit jeder zusätzlichen GPU der Speicheraustausch in etwa konstant länger wird, gibt es für jede Kombination aus Grafikkarte und Datengröße ein Optimum, um die Berechnung schnellstmöglich auszuführen.

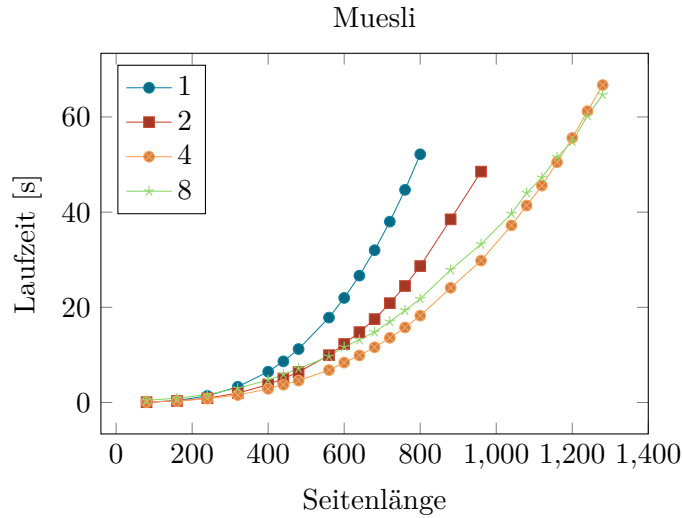


Abbildung 4.5: Laufzeit von Muesli abhängig von der Seitenlänge des Würfels mit verschiedenen Anzahlen an GPUs (Nvidia A100)

Dies ist auch in Abbildung 4.5 zu sehen, in denen die Laufzeiten der Muesli-Implementierung mit einer, zwei, vier und acht Nvidia A100 mit jeweils verschiedenen Datengrößen abgebildet ist. Die Berechnung mit vier GPUs ist für den Großteil der Seitenlängen der

Datenstrukturen die schnellste Variante. Die Berechnung mit acht GPUs ist bis zu einer Seitenlänge von 320 langsamer als die Berechnung mit einer GPUs und bis zu einer Seitenlänge von 560 langsamer als die Berechnung mit zwei GPUs. Ab einer Seitenlänge von 1200 ist sie aber schneller als die Berechnung mit vier GPUs.



## 5. Fazit

Das Ziel dieser Bachelorarbeit ist die Implementierung und Optimierung eines effizienten dreidimensionalen `mapStencil`-Skeletts in der Muenster Skeleton Library (Muesli) zur Entwicklung von Iterative Stencil Loop (ISL). Wie in Kapitel 3 gesehen, erleichtert die Benutzung des erstellten Skeletts die Entwicklung der Strömungssimulation mithilfe der Lattice-Boltzmann-Methode deutlich. Außerdem ist bei der Verwendung des Muesli-Skeletts kaum spezifisches Wissen der parallelen Programmierung nötig. Ebenfalls werden durch Anwendung des Skeletts viele mögliche Fehlerquellen eliminiert, sodass zum Beispiel der bei der initialen Version der nativen Referenzimplementierung durch häufige Speicherzugriffe begründete Leistungsverlust bei Benutzung von Muesli komplett ausgeschlossen werden kann.

Die Analyse in Kapitel 4 ergab, dass nach der Optimierung beider Anwendungen die in Muesli implementierte Simulation eine minimal längere Laufzeit gegenüber der nativen Referenzimplementierung besitzt. Dies ist durch den in Muesli gegebenen Mehraufwand des Aufrufs vom `operator()` des `PLCube` und durch die dortige, auf Grund der Partitionierung des Speichers in den oberen Puffer, Hauptspeicher und unteren Puffer benötigte, zusätzliche Verzweigung des Codes zu erklären.

In Zukunft könnte geforscht werden, wie die Kombination der drei Speicherbereiche auf jeder GPU technisch möglich wäre, sodass im `operator()` des `PLCube` weniger Unterscheidungen nötig sind, ohne dabei jedoch die Funktion der anderen Skelette von Muesli zu beeinflussen, für die jeweils nur der Hauptspeicherbereich wichtig ist. Insbesondere ist es interessant, ob diese oder andere eventuell mögliche Optimierungen an der Implementierung des `mapStencil`-Skeletts in Muesli dessen minimal längere Laufzeit gegenüber der nativen Referenzimplementierung noch weiter verkürzen können. Zusätzlich könnte versucht werden, das dreidimensionale `mapStencil`-Skelett auf andere Dimensionen zu verallgemeinern. Außerdem liegt der Fokus dieser Arbeit auf der Parallelisierung mittels CUDA. Eine zusätzliche Beschleunigung könnte erreicht werden, indem Teile der Berechnungen in mehreren Threads auf der CPU ausgeführt werden. Ebenfalls kann das Skelett weiterhin mittels MPI parallelisiert werden, wodurch die Berechnung auf viele Rechner verteilt werden kann.

Abschließend lässt sich sagen, dass, insbesondere für Entwickler mit wenig Erfahrung im Bereich der parallelen Programmierung, die Benutzung von Muesli eine gute Alternative bei der Implementierung von ISLs darstellt, ohne dabei große Leistungsverluste einbüßen zu müssen.

## Literatur

- [1] Riccardo Cattaneo u. a. „On How to Accelerate Iterative Stencil Loops: A Scalable Streaming-Based Approach“. In: *ACM Trans. Archit. Code Optim.* 12.4 (Dez. 2015) (siehe S. 1).
- [2] Fabien Sanglard. *A history of Nvidia Stream Multiprocessor*. 2. Mai 2020. URL: <https://fabiansanglard.net/cuda/> (besucht am 11.01.2023) (siehe S. 2, 3).
- [3] Nolan Goodnight. „GPU Computing“. In: *GPU Gems 3*. Addison-Wesley, Aug. 2007 (siehe S. 2).
- [4] Michael Uelschen. *Software Engineering Paralleler Systeme: Grundlagen, Algorithmen, Programmierung*. Springer Vieweg, Juni 2019 (siehe S. 2, 3).
- [5] Michael J. Flynn. „Very high-speed computing systems“. In: *Proceedings of the IEEE* 54.12 (Dez. 1966), S. 1901–1909 (siehe S. 3).
- [6] TechPowerUp. *GeForce RTX 3060 Specs*. URL: <https://www.techpowerup.com/gpu-specs/geforce-rtx-3060.c3682> (besucht am 14.01.2023) (siehe S. 3).
- [7] Intel. *Export Compliance Metrics*. 26. Okt. 2022. URL: <https://www.intel.com/content/dam/support/us/en/documents/processors/APP-for-Intel-Core-Processors.pdf> (besucht am 14.01.2023) (siehe S. 3).
- [8] Nvidia. *CUDA C++ Programming Guide*. URL: <https://docs.nvidia.com/cuda/cuda-c-programming-guide/> (besucht am 11.01.2023) (siehe S. 3, 5).
- [9] Nvidia. *CUDA Runtime API - CUDA Toolkit Documentation*. URL: <https://docs.nvidia.com/cuda/archive/11.8.0/cuda-runtime-api/index.html> (besucht am 20.01.2023) (siehe S. 4).
- [10] Murray Cole. „Bringing Skeletons out of the Closet: A Pragmatic Manifesto for Skeletal Parallel Programming“. In: *Parallel Computing* 30.3 (März 2004), S. 389–406 (siehe S. 5).
- [11] Sergei Gorlatch und Herbert Kuchen. „Guest Editorial: High-Level Parallel Programming with Algorithmic Skeletons“. In: *International Journal of Parallel Programming* 46 (Mai 2017), S. 1–3 (siehe S. 5).
- [12] Philipp Ciechanowicz. *Datenparallele algorithmische Skelette Erweiterungen und Anwendungen der Münster Skelettbibliothek Muesli*. 2010 (siehe S. 6).
- [13] Steven Bell u. a. „Image Processing with Stencil Pipelines“. In: *Compiling Algorithms for Heterogeneous Systems*. Cham: Springer International Publishing, 2018, S. 27–31 (siehe S. 8).
- [14] Robert Fisher u. a. *Mean Filter*. URL: <https://homepages.inf.ed.ac.uk/rbf/HIPR2/mean.htm> (besucht am 13.02.2023) (siehe S. 9).
- [15] Robert Fisher u. a. *Laplacian/Laplacian of Gaussian*. URL: <https://homepages.inf.ed.ac.uk/rbf/HIPR2/log.htm> (besucht am 13.02.2023) (siehe S. 9).

- [16] Timm Krüger u. a. *The Lattice Boltzmann Method - Principles and Practice*. Okt. 2016 (siehe S. 10, 21).
- [17] Herbert Kuchen und Jörg Striegnitz. „Higher-Order Functions and Partial Applications for a C++ Skeleton Library“. In: *Proceedings of the 2002 Joint ACM-ISCOPE Conference on Java Grande*. Association for Computing Machinery, 2002, S. 122–130 (siehe S. 12).
- [18] Dieter A. Wolf-Gladrow. *Lattice Gas Cellular Automata and Lattice Boltzmann Models*. Springer Berlin Heidelberg, 2000 (siehe S. 21).
- [19] „IEEE Standard for Floating-Point Arithmetic“. In: *IEEE Std 754-2019* (2019) (siehe S. 21).
- [20] Nvidia. *NVIDIA A100 Tensor Core-GPU*. URL: <https://www.nvidia.com/de-de/data-center/a100/> (besucht am 13.02.2023) (siehe S. 32).

## A. Programmdateien

Das gesamte Zusatzmaterial (Der Code von Muesli und der nativen Implementierung, sowie die Laufzeitdaten) ist auch unter <https://justusdieckmann.de/bachelor/> zu finden.

### Programmausschnitt A.1: PLCube<T>

```
1 #pragma once
2
3 #include "argtype.h"
4 #include "muesli.h"
5 #include <array>
6
7 #ifndef __CUDAACC__
8 typedef struct {
9     int x, y, z;
10 } int3;
11 #endif
12
13 namespace msl {
14
15 /**
16  * \brief Class PLCube represents a padded local cube (partition). It serves
17  * as input for the mapStencil skeleton and actually is a shallow copy that
18  * only stores the pointers to the data. The data itself is managed by the
19  * mapStencil skeleton. For the user, the only important part is the \em
20  * get
21  * function.
22  * @tparam T The element type.
23  */
24 template <typename T>
25 class PLCube {
26 public:
27     int width;
28     int height;
29     int depth;
30
31     int stencilSize;
32     T neutralValue;
33     int dataStartIndex = 0;
34     int dataEndIndex = 0;
35     int topPaddingStartIndex = 0;
36     int bottomPaddingEndIndex = 0;
37     T *data;
38     T *topPadding;
39     T *bottomPadding;
40
41     /**
42      * \brief Constructor: creates a PLCube.
43      */
```

```

44     PLCube(int width, int height, int depth, std::array<int, 3> start, std::
array<int, 3> end, int device,
45         int stencilSize, T neutralValue, T *data)
46     : width(width), height(height), depth(depth),
47     stencilSize(stencilSize), neutralValue(neutralValue),
48     dataStartIndex(msl::PLCube<T>::coordinateToIndex(start)),
49     dataEndIndex(msl::PLCube<T>::coordinateToIndex(end)),
50     topPaddingStartIndex(msl::PLCube<T>::coordinateToIndex(
51         std::max(start[0] - stencilSize, 0),
52         std::max(start[1] - stencilSize, 0),
53         std::max(start[2] - stencilSize, 0)
54     )),
55     bottomPaddingEndIndex(msl::PLCube<T>::coordinateToIndex(
56         std::min(end[0] + stencilSize, width - 1),
57         std::min(end[1] + stencilSize, height - 1),
58         std::min(end[2] + stencilSize, depth - 1)
59     )),
60     data(data) {
61 #ifdef __CUDA__
62     cudaSetDevice(device);
63     cudaMalloc(&topPadding, (dataStartIndex - topPaddingStartIndex) *
sizeof(T));
64     cudaMalloc(&bottomPadding, (bottomPaddingEndIndex - dataEndIndex) *
sizeof(T));
65 #endif
66     }
67
68     MSL_USERFUNC const T& operator() (int x, int y, int z) const {
69     if (x < 0 || y < 0 || z < 0 || x >= width || y >= height || z >= depth
) {
70         return neutralValue;
71     }
72     int index = coordinateToIndex(x, y, z);
73     if (index >= dataStartIndex) {
74         if (index > dataEndIndex) {
75             return bottomPadding[index - dataEndIndex - 1];
76         } else {
77             return data[index - dataStartIndex];
78         }
79     } else {
80         return topPadding[index - topPaddingStartIndex];
81     }
82 }
83
84     MSL_USERFUNC inline int coordinateToIndex(int x, int y, int z) const {
85     return (z * height + y) * width + x;
86 }
87
88     [[nodiscard]] inline int coordinateToIndex(const std::array<int, 3> &
coords) const {
89     return coordinateToIndex(coords[0], coords[1], coords[2]);
90 }
91

```

```

92     MSL_USERFUNC int3 indexToCoordinate(int i) const {
93         int x = i % width;
94         i /= width;
95         int y = i % height;
96         int z = i / height;
97         return {x, y, z};
98     }
99
100     [[nodiscard]] inline int getTopPaddingElements() const {
101         return dataStartIndex - topPaddingStartIndex;
102     }
103
104     [[nodiscard]] inline int getBottomPaddingElements() const {
105         return bottomPaddingEndIndex - dataEndIndex;
106     }
107 };
108 }

```

## Programmausschnitt A.2: array<T, size>

```
1 #ifndef GASSIMULATION_ARRAY_H
2 #define GASSIMULATION_ARRAY_H
3
4 template<typename T, unsigned int N>
5 struct array {
6     T data[N];
7
8     MSL_USERFUNC T operator[](size_t n) const {
9         return data[n];
10    }
11
12    MSL_USERFUNC T& operator[](size_t n) {
13        return data[n];
14    }
15 };
16
17 #endif //GASSIMULATION_ARRAY_H
```

### Programmausschnitt A.3: vec3<T>

```
1 #ifndef GASSIMULATION_VEC3_H
2 #define GASSIMULATION_VEC3_H
3
4 template<typename T>
5 struct vec3 {
6
7     T x, y, z;
8
9     MSL_USERFUNC void operator+=(const vec3<T>& other) {
10         x += other.x;
11         y += other.y;
12         z += other.z;
13     }
14
15     MSL_USERFUNC friend vec3<T> operator+(vec3<T> v, const vec3<T>& other) {
16         v += other;
17         return v;
18     }
19
20     MSL_USERFUNC void operator*=(const T& val) {
21         x *= val;
22         y *= val;
23         z *= val;
24     }
25
26     MSL_USERFUNC friend vec3<T> operator*(vec3<T> v, const T& val) {
27         v *= val;
28         return v;
29     }
30
31     MSL_USERFUNC friend T operator*(const vec3<T>& v1, const vec3<T>& v2) {
32         return v1.x * v2.x + v1.y * v2.y + v1.z * v2.z;
33     }
34 };
35
36 #endif //GASSIMULATION_VEC3_H
```



#### Programmausschnitt A.4: Beispielanwendung LBM-Simulation mithilfe von Muesli

```
1 #include <iostream>
2 #include <cmath>
3 #include <vector>
4 #include <csignal>
5
6 #include "muesli.h"
7 #include "dc.h"
8 #include "functors.h"
9 #include "array.h"
10 #include "vec3.h"
11
12 const int FLAG_OBSTACLE = 1 << 0;
13 const int FLAG_KEEP_VELOCITY = 1 << 1;
14
15 #ifdef __CUDAACC__
16 #define MSL_MANAGED __managed__
17 #define MSL_CONSTANT __constant__
18 #else
19 #define MSL_MANAGED
20 #define MSL_CONSTANT
21 #endif
22
23 typedef struct {
24     unsigned int mantissa : 23;
25     unsigned int exponent : 8;
26     unsigned int sign : 1;
27 } floatparts;
28
29 const size_t Q = 19;
30 typedef array<float, Q> cell_t;
31 typedef vec3<float> vec3f;
32
33 std::ostream& operator<< (std::ostream& os, const cell_t f) {
34     os << "(" << f[0] << ", " << f[1] << ", " << f[2] << "...)";
35     return os;
36 }
37
38 int CHECK = 0;
39 int OUTPUT = 1;
40 namespace msl::gassimulation {
41
42     MSL_MANAGED vec3<int> size;
43
44     MSL_MANAGED float deltaT = 1.f;
45
46     MSL_MANAGED float tau = 0.65;
47     MSL_MANAGED float cellwidth = 1.f;
48
49     MSL_CONSTANT const array<vec3f, Q> offsets {
50         0, 0, 0,    // 0
51         -1, 0, 0,   // 1
52         1, 0, 0,    // 2
```

```

53     0, -1, 0,    // 3
54     0, 1, 0,    // 4
55     0, 0, -1,   // 5
56     0, 0, 1,    // 6
57     -1, -1, 0,   // 7
58     -1, 1, 0,    // 8
59     1, -1, 0,    // 9
60     1, 1, 0,    // 10
61     -1, 0, -1,   // 11
62     -1, 0, 1,    // 12
63     1, 0, -1,    // 13
64     1, 0, 1,     // 14
65     0, -1, -1,   // 15
66     0, -1, 1,    // 16
67     0, 1, -1,    // 17
68     0, 1, 1,     // 18
69 };
70
71 MSL_CONSTANT const array<unsigned char, Q> opposite = {
72     0,
73     2, 1, 4, 3, 6, 5,
74     10, 9, 8, 7, 14, 13, 12, 11, 18, 17, 16, 15
75 };
76
77 MSL_CONSTANT const array<float, Q> wis {
78     1.f / 3,
79     1.f / 18,
80     1.f / 18,
81     1.f / 18,
82     1.f / 18,
83     1.f / 18,
84     1.f / 18,
85     1.f / 36,
86     1.f / 36,
87     1.f / 36,
88     1.f / 36,
89     1.f / 36,
90     1.f / 36,
91     1.f / 36,
92     1.f / 36,
93     1.f / 36,
94     1.f / 36,
95     1.f / 36,
96     1.f / 36,
97 };
98
99 MSL_USERFUNC inline float feq(size_t i, float p, const vec3f& v) {
100     float wi = wis[i];
101     float c = cellwidth;
102     float dot = offsets[i] * c * v;
103     return wi * p * (1 + (1 / (c * c)) * (3 * dot + (9 / (2 * c * c)) * dot *
dot - (3.f / 2) * (v * v)));
104 }

```

```

105
106 MSL_USERFUNC cell_t update(const PLCube<cell_t> &plCube, int x, int y, int z)
107 {
108     cell_t cell = plCube(x, y, z);
109
110     auto* parts = (floatparts*) &cell[0];
111
112     if (parts->exponent == 255) {
113         if (parts->mantissa & FLAG_KEEP_VELOCITY) {
114             return cell;
115         }
116
117         // Streaming.
118         for (int i = 1; i < Q; i++) {
119             int sx = x + (int) offsets[i].x;
120             int sy = y + (int) offsets[i].y;
121             int sz = z + (int) offsets[i].z;
122             cell[i] = plCube(sx, sy, sz)[i];
123         }
124
125         // Collision.
126         if (parts->exponent == 255) {
127             if (parts->mantissa & FLAG_OBSTACLE) {
128                 cell_t cell2 = cell;
129                 for (size_t i = 1; i < Q; i++) {
130                     cell[i] = cell2[opposite[i]];
131                 }
132             }
133             return cell;
134         }
135         float p = 0;
136         vec3f vp {0, 0, 0};
137         for (size_t i = 0; i < Q; i++) {
138             p += cell[i];
139             vp += offsets[i] * cellwidth * cell[i];
140         }
141         vec3f v = p == 0 ? vp : vp * (1 / p);
142
143         for (size_t i = 0; i < Q; i++) {
144             cell[i] = cell[i] + deltaT / tau * (feq(i, p, v) - cell[i]);
145         }
146         return cell;
147     }
148
149     class Initialize : public Functor4<int, int, int, cell_t, cell_t> {
150     public:
151         MSL_USERFUNC cell_t operator()(int x, int y, int z, cell_t c) const
152         override {
153             for (int i = 0; i < Q; i++) {
154                 c[i] = feq(i, 1.f, {.1f, 0, 0});
155             }
156         }
157     };

```

```

156         if (x <= 1 || y <= 1 || z <= 1 || x >= size.x - 2 || y >= size.y - 2
157         || z >= size.z - 2 ||
std::pow(x - 50, 2) + std::pow(y - 50, 2) + std::pow(z - 8, 2) <=
158         225) {
auto* parts = (floatparts*) &c[0];
159         parts->sign = 0;
160         parts->exponent = 255;
161         if (x <= 1 || x >= size.x - 2 || y <= 1 || y >= size.y - 2 || z <=
1 || z >= size.z - 2) {
162             parts->mantissa = 1 << 22 | FLAG_KEEP_VELOCITY;
163         } else {
164             parts->mantissa = 1 << 22 | FLAG_OBSTACLE;
165         }
166     }
167     return c;
168 }
169 };
170
171 void gassimulation_test(vec3<int> dimension, int iterations, const std::string
&importFile, const std::string &exportFile) {
172     size = dimension;
173
174     DC<cell_t> dc(size.x, size.y, size.z);
175
176     if (importFile.empty()) {
177         Initialize initialize;
178         dc.mapIndexInPlace(initialize);
179     } else {
180         std::ifstream infile(importFile, std::ios_base::binary);
181
182         std::vector<char> buffer((std::istreambuf_iterator<char>(infile)),
183                                 std::istreambuf_iterator<char>());
184
185         if (buffer.size() != size.x * size.y * size.z * sizeof(cell_t)) {
186             std::cerr << "Inputfile is " << buffer.size() << " bytes big, but
needs to be " << size.x * size.y * size.z * sizeof(cell_t) << " to match the
given dimensions!" << std::endl;
187             exit(-1);
188         }
189
190         auto* b = (cell_t*) buffer.data();
191
192         infile.close();
193
194         for (int i = 0; i < dc.getSize(); i++) {
195             dc.localPartition[i] = b[i];
196         }
197         dc.setCpuMemoryInSync(true);
198         dc.updateDevice();
199     }
200
201     DC<cell_t> dc2(size.x, size.y, size.z);
202

```

```

203 // Pointers for swapping.
204 DC<cell_t> *dcp1 = &dc;
205 DC<cell_t> *dcp2 = &dc2;
206
207 for (int i = 0; i < iterations; i++) {
208
209     double time = MPI_Wtime();
210
211     dcp1->mapStencil<update>(*dcp2, 1, {});
212
213     double endTime = MPI_Wtime();
214     double onlyKernelTime = endTime - Muesli::start_time;
215     double totalTime = endTime - time;
216
217     std::cout << totalTime << " / " << onlyKernelTime << std::endl;
218
219     std::swap(dcp1, dcp2);
220 }
221
222 if (!exportFile.empty()) {
223     dcp1->updateHost();
224     std::ofstream outfile(exportFile, std::ios_base::binary);
225     outfile.write((char*) dcp1->localPartition, dcp1->getSize() * sizeof(
cell_t));
226     outfile.close();
227 }
228 }
229 }
230
231 void exitWithUsage() {
232     std::cerr << "Usage: ./gassimulation_test [-d <xdim> <ydim> <zdim>] [-g <nGPUs>] [-n <iterations>] [-i <importFile>] [-e <exportFile>]" << std::endl;
233     exit(-1);
234 }
235
236 int getIntArg(char* s, bool allowZero = false) {
237     int i = std::atoi(s);
238     if (i < 0 || (i == 0 && !allowZero)) {
239         exitWithUsage();
240     }
241     return i;
242 }
243
244 int main(int argc, char** argv){
245     vec3<int> size {100, 100, 100};
246     int gpus = 1;
247     int iterations = 1;
248     std::string importFile, exportFile;
249     for (int i = 1; i < argc; i++) {
250         if (argv[i][0] != '-') {
251             exitWithUsage();
252         }
253         switch(argv[i++][1]) {

```

```

254         case 'd':
255             if (argc < i + 3) {
256                 exitWithUsage();
257             }
258             size.x = getIntArg(argv[i++]);
259             size.y = getIntArg(argv[i++]);
260             size.z = getIntArg(argv[i]);
261             break;
262         case 'g':
263             gpus = getIntArg(argv[i]);
264             break;
265         case 'n':
266             iterations = getIntArg(argv[i], true);
267             break;
268         case 'i':
269             importFile = std::string(argv[i]);
270             break;
271         case 'e':
272             exportFile = std::string(argv[i]);
273             break;
274         default:
275             exitWithUsage();
276     }
277 }
278
279 msl::setNumRuns(1);
280 msl::initSkeletons(argc, argv);
281 msl::Muesli::cpu_fraction = 0;
282 msl::Muesli::num_gpus = gpus;
283 msl::gassimulation::gassimulation_test(size, iterations, importFile,
284 exportFile);
285 msl::terminateSkeletons();
286 return EXIT_SUCCESS;
287 }

```

## Programmausschnitt A.5: Native Referenzimplementierung der LBM-Simulation

```

1  #include "cuda.cuh"
2  #include "array.h"
3  #include <cmath>
4  #include <fstream>
5  #include <vector>
6
7  Timer timer = Timer();
8  double time_split;
9
10 const int FLAG_OBSACLE = 1 << 0;
11 const int FLAG_KEEP_VELOCITY = 1 << 1;
12
13 typedef struct {
14     unsigned int mantissa : 23;
15     unsigned int exponent : 8;
16     unsigned int sign : 1;
17 } floatparts;
18
19 const size_t Q = 19;
20 typedef array<float, Q> cell_t;
21 typedef vec3<float> vec3f;
22
23 struct gpu_t {
24     int device;
25     size_t mainGlobalIndex;
26     size_t mainLayers;
27     cell_t *data1;
28     cell_t *data2;
29     size_t mainOffset;
30     size_t bottomPaddingOffset;
31 };
32
33 vec3<size_t> size;
34
35 size_t cells;
36 size_t bytesPerLayer;
37 size_t elementsPerLayer;
38
39 std::vector<gpu_t> gpuStructs;
40
41 cudaStream_t *streams;
42
43 __managed__ float deltaT = 1.f;
44
45 __managed__ float tau = 0.65;
46 __managed__ float cellwidth = 1.f;
47
48 bool pause = false;
49
50 __constant__ const array<vec3f, Q> offsets {
51     0, 0, 0,    // 0
52     -1, 0, 0,   // 1

```

```

53         1, 0, 0,    // 2
54         0, -1, 0,   // 3
55         0, 1, 0,    // 4
56         0, 0, -1,   // 5
57         0, 0, 1,    // 6
58         -1, -1, 0,  // 7
59         -1, 1, 0,   // 8
60         1, -1, 0,   // 9
61         1, 1, 0,    // 10
62         -1, 0, -1,  // 11
63         -1, 0, 1,   // 12
64         1, 0, -1,   // 13
65         1, 0, 1,    // 14
66         0, -1, -1,  // 15
67         0, -1, 1,   // 16
68         0, 1, -1,   // 17
69         0, 1, 1,    // 18
70     };
71
72     __constant__ const array<unsigned char, Q> opposite = {
73         0,
74         2, 1, 4, 3, 6, 5,
75         10, 9, 8, 7, 14, 13, 12, 11, 18, 17, 16, 15
76     };
77
78     __constant__ const array<float, Q> wis {
79         1.f / 3,
80         1.f / 18,
81         1.f / 18,
82         1.f / 18,
83         1.f / 18,
84         1.f / 18,
85         1.f / 18,
86         1.f / 36,
87         1.f / 36,
88         1.f / 36,
89         1.f / 36,
90         1.f / 36,
91         1.f / 36,
92         1.f / 36,
93         1.f / 36,
94         1.f / 36,
95         1.f / 36,
96         1.f / 36,
97         1.f / 36,
98     };
99
100     cell_t *u1;
101     cell_t *u2;
102
103     __device__ __host__ inline size_t pack(size_t w, size_t h, size_t d, size_t x,
104         size_t y, size_t z) {
105         return (z * h + y) * w + x;

```



```

105 }
106
107 __device__ __host__ inline float feq(const size_t i, const float p, const vec3f& v
    ) {
108     float wi = wis[i];
109     float c = cellwidth;
110     float dot = offsets[i] * c * v;
111     return wi * p * (1 + (1 / (c * c)) * (3 * dot + (9 / (2 * c * c)) * dot * dot
        - (3.f / 2) * (v * v)));
112 }
113
114 __device__ inline void collisionStep(cell_t &cell) {
115     floatparts* parts = (floatparts*) &cell[0];
116     if (parts->exponent == 255) {
117         if (parts->mantissa & FLAG_OBSTACLE) {
118             cell_t cell2 = cell;
119             for (size_t i = 1; i < Q; i++) {
120                 cell[i] = cell2[opposite[i]];
121             }
122         }
123         return;
124     }
125     float p = 0;
126     vec3f vp {0, 0, 0};
127     for (size_t i = 0; i < Q; i++) {
128         p += cell[i];
129         vp += offsets[i] * cellwidth * cell[i];
130     }
131     vec3f v = p == 0 ? vp : vp * (1 / p);
132
133     for (size_t i = 0; i < Q; i++) {
134         cell[i] = cell[i] + deltaT / tau * (feq(i, p, v) - cell[i]);
135     }
136 }
137
138 __global__ void update(cell_t *dst, cell_t *src, const size_t worksize, const vec3
    <size_t> globalsize, const size_t zoffset) {
139     size_t i = blockIdx.x * blockDim.x + threadIdx.x;
140     if (i >= worksize) {
141         return;
142     }
143     size_t x = i % globalsize.x;
144     size_t y = (i / globalsize.x) % globalsize.y;
145     size_t z = (i / (globalsize.x * globalsize.y)) + zoffset;
146     size_t index = i + zoffset * globalsize.x * globalsize.y;
147
148     cell_t dest = src[index];
149     floatparts* parts = (floatparts*) &dest;
150
151     if (parts->exponent == 255) {
152         if (parts->mantissa & FLAG_KEEP_VELOCITY) {
153             dst[index] = src[index];
154             return;

```

```

155     }
156 }
157
158 for (int i = 0; i < Q; i++) {
159     int sx = x + (int) offsets[i].x;
160     int sy = y + (int) offsets[i].y;
161     int sz = z + (int) offsets[i].z;
162     if (sx < 0 || sy < 0 || sz < 0 || sx >= globalsize.x || sy >= globalsize.y
        || sz >= globalsize.z) {
163         continue;
164     }
165     dest[i] = src[pack(globalsize.x, globalsize.y, globalsize.z, sx, sy, sz)][
166 i];
167 }
168
169 collisionStep(dest);
170 dst[index] = dest;
171 }
172
173 __device__ unsigned char floatToChar(float f) {
174     return (unsigned char) min(max((f * 10.f + 1.f) * 127.f, 0.f), 255.f);
175 }
176
177 void syncStreams() {
178     for (auto gpu : gpuStructs) {
179         gpuErrchk(cudaStreamSynchronize(streams[gpu.device]));
180     }
181 }
182
183 __global__ void renderToBuffer(uchar4 *destImg, cell_t *srcU, vec3<size_t> size) {
184     size_t x = blockIdx.x * blockDim.x + threadIdx.x; // Not calculating border
185     size_t y = blockIdx.y * blockDim.y + threadIdx.y;
186     size_t z = 8;
187
188     size_t iP = pack(size.x, size.y, size.z, x, y, z);
189     size_t iI = (size.y - y - 1) * size.x + x; // Invert opengl image.
190     vec3f p{};
191     cell_t cell = srcU[iP];
192     for (int i = 0; i < Q; i++) {
193         p += offsets[i] * cell[i];
194     }
195     destImg[iI] = {
196         floatToChar(p.x), floatToChar(p.y), floatToChar(p.z), 255
197     };
198 }
199
200 void render(uchar4 *img, const int width, const int height) {
201     simulateStep();
202     dim3 threadsPerBlock(1, 1);
203     dim3 numBlocks(size.x, size.y);
204     renderToBuffer<<<numBlocks, threadsPerBlock>>>>(img, gpuStructs[0].data1, size)

```

```

;
205     cudaDeviceSynchronize();
206 }
207
208 __device__ __host__ inline void generate(cell_t &cell, int x, int y, int z, const
vec3<size_t> globalSize) {
209     for (int i = 0; i < Q; i++) {
210         float f = feq(i, 1.f, {.1f, 0, 0});
211         cell[i] = f;
212     }
213
214     if (x <= 1 || y <= 1 || z <= 1 || x >= globalSize.x - 2 || y >= globalSize.y -
2 || z >= globalSize.z - 2 ||
215         std::pow(x - 50, 2) + std::pow(y - 50, 2) + std::pow(z - 8, 2) <= 225) {
216         auto *parts = (floatparts *) &cell[0];
217         parts->sign = 0;
218         parts->exponent = 255;
219         if (x <= 1 || x >= globalSize.x - 2 || y <= 1 || y >= globalSize.y - 2 ||
z <= 1 || z >= globalSize.z - 2) {
220             parts->mantissa = 1 << 22 | FLAG_KEEP_VELOCITY;
221         } else {
222             parts->mantissa = 1 << 22 | FLAG_OBSTACLE;
223         }
224     }
225 }
226
227
228 __global__ void init(cell_t *dst, size_t worksize, const vec3<size_t> globalsize,
size_t zpaddingtop, size_t zoffset) {
229     size_t i = blockIdx.x * blockDim.x + threadIdx.x;
230     if (i >= worksize) {
231         return;
232     }
233
234     size_t x = i % globalsize.x;
235     size_t y = (i / globalsize.x) % globalsize.y;
236     size_t z = (i / (globalsize.x * globalsize.y)) + zoffset;
237     size_t index = i + zpaddingtop * globalsize.x * globalsize.y;
238
239     generate(dst[index], x, y, z, globalsize);
240 }
241
242 void initSimulation(size_t xdim, size_t ydim, size_t zdim, size_t gpus, const std
::string &importFile) {
243     size = {xdim, ydim, zdim};
244     cells = xdim * ydim * zdim;
245
246     size_t layersPerGpu = zdim / gpus;
247     size_t remainder = zdim - layersPerGpu * gpus;
248     elementsPerLayer = xdim * ydim;
249     bytesPerLayer = elementsPerLayer * sizeof(cell_t);
250
251     u1 = new cell_t[cells];

```

```

252     u2 = new cell_t[cells];
253
254     streams = new cudaStream_t[gpus];
255
256     size_t currentLayer = 0;
257     gpuStructs = std::vector<gpu_t>();
258     gpuStructs.reserve(gpus);
259
260     for (int i = 0; i < gpus; i++) {
261         gpuErrchk(cudaSetDevice(i));
262         gpuErrchk(cudaStreamCreate(&streams[i]));
263         gpu_t gpu{};
264         gpu.device = i;
265         int toppaddinglayers = i > 0 ? 1 : 0;
266         int bottompaddinglayers = i < gpus - 1 ? 1 : 0;
267         gpu.mainGlobalIndex = currentLayer * elementsPerLayer;
268         gpu.mainLayers = layersPerGpu + (i < remainder ? 1 : 0);
269         gpu.mainOffset = toppaddinglayers * elementsPerLayer;
270         gpu.bottomPaddingOffset = gpu.mainOffset + gpu.mainLayers *
elementsPerLayer;
271
272         currentLayer += gpu.mainLayers;
273
274         gpuErrchk(cudaMalloc(&gpu.data1, (gpu.mainLayers + toppaddinglayers +
bottompaddinglayers) * bytesPerLayer));
275         gpuErrchk(cudaMalloc(&gpu.data2, (gpu.mainLayers + toppaddinglayers +
bottompaddinglayers) * bytesPerLayer));
276         gpuStructs.push_back(gpu);
277     }
278
279     if (!importFile.empty()) {
280         importFrame(importFile);
281         for (auto gpu : gpuStructs) {
282             gpuErrchk(cudaMemcpyAsync(&gpu.data1[gpu.mainOffset], &u1[gpu.
mainGlobalIndex], gpu.mainLayers * bytesPerLayer, cudaMemcpyDefault, streams[
gpu.device]));
283         }
284     } else {
285         for (auto &gpu : gpuStructs) {
286             cudaSetDevice(gpu.device);
287             dim3 threadsPerBlock(512);
288             size_t worksize = size.x * size.y * gpu.mainLayers;
289             dim3 numBlocks(
290                 (worksize + threadsPerBlock.x - 1) / threadsPerBlock.x
291             );
292             init<<<numBlocks, threadsPerBlock, 0, streams[gpu.device]>>>(&
gpu.data1, worksize, size, gpu.mainOffset / elementsPerLayer,
293             gpu.mainGlobalIndex / elementsPerLayer
294             );
295         }
296     }
297     syncStreams();
298 }

```

```

299
300 void togglePause() {
301     pause = !pause;
302 }
303
304 void updateHost() {
305     for (auto gpu : gpuStructs) {
306         gpuErrchk(cudaMemcpy(&u1[gpu.mainGlobalIndex], &gpu.data1[gpu.mainOffset],
307                             gpu.mainLayers * bytesPerLayer,
308                             cudaMemcpyDeviceToHost));
309     }
310 }
311
312 void updateDevice() {
313     for (auto gpu: gpuStructs) {
314         gpuErrchk(cudaMemcpy(&gpu.data1[gpu.mainOffset], &u1[gpu.mainGlobalIndex],
315                             gpu.mainLayers * bytesPerLayer,
316                             cudaMemcpyHostToDevice));
317     }
318 }
319
320 void simulateStep() {
321     if (pause) {
322         return;
323     }
324
325     for (int i = 1; i < gpuStructs.size(); i++) {
326         // Copy bottom padding for i - 1
327         gpuErrchk(cudaMemcpyAsync(
328             &gpuStructs[i - 1].data1[gpuStructs[i - 1].bottomPaddingOffset],
329             &gpuStructs[i].data1[gpuStructs[i].mainOffset],
330             bytesPerLayer, cudaMemcpyDefault, streams[i - 1]
331         ));
332         // Copy top padding for i
333         gpuErrchk(cudaMemcpyAsync(
334             &gpuStructs[i].data1,
335             &gpuStructs[i - 1].data1[gpuStructs[i - 1].bottomPaddingOffset -
336             elementsPerLayer],
337             bytesPerLayer, cudaMemcpyDefault, streams[i]
338         ));
339     }
340
341     syncStreams();
342     time_split = timer.get();
343     for (auto &gpu : gpuStructs) {
344         cudaSetDevice(gpu.device);
345         dim3 threadsPerBlock(1024);
346         size_t worksize = size.x * size.y * gpu.mainLayers;
347         dim3 numBlocks(
348             (worksize + threadsPerBlock.x - 1) / threadsPerBlock.x
349         );
350         update<<<numBlocks, threadsPerBlock, 0, streams[gpu.device]>>>(
351             gpu.data2, gpu.data1, worksize, size, gpu.mainOffset /

```

```

elementsPerLayer
    );
349     std::swap(gpu.data1, gpu.data2); // data1 is always pointing to up-to-date
350     buffer.
351 }
352 std::swap(u1, u2);
353 syncStreams();
354 }
355
356 void exportFrame(const std::string& filename) {
357
358     updateHost();
359
360     std::ofstream out;
361     out.open(filename, std::ios::out | std::ios::binary);
362
363     for (auto gpu : gpuStructs) {
364         gpuErrchk(cudaMemcpy(&u1[gpu.mainGlobalIndex], &gpu.data1[gpu.mainOffset],
365             gpu.mainLayers * bytesPerLayer, cudaMemcpyDeviceToHost));
366     }
367
368     out.write(reinterpret_cast<const char *>(u1), cells * sizeof(cell_t));
369
370     out.close();
371 }
372
373 void importFrame(const std::string& importFile) {
374     std::ifstream infile(importFile, std::ios_base::binary);
375     infile.read(reinterpret_cast<char *>(u1), cells * sizeof(cell_t));
376     updateDevice();
377 }

```

## B. Laufzeitdaten

In den folgenden Tabellen bezeichnet die Spalte „Dim<sup>3</sup>“ die Seitenlänge des Würfels. Die Laufzeiten sind jeweils die Angaben von 200 Iterationen in Sekunden; die in Klammern gedruckte Zahl gibt die Laufzeit ohne die Speicheraktualisierung zwischen den GPUs an.

### B.1. Laufzeitdaten vor der Optimierung

Muesli auf Stand von Commit 86d4133, die native Anwendung auf Commit 21f7744.

Tabelle B.1: Laufzeitdaten mit Nvidia A100 SXM 80 GB GPUs

Dim <sup>3</sup>	GPUs	Muesli		Native	
400	1	14.9385	(14.9376)	11.1112	(11.1107)
400	2	7.9544	(7.5037)	6.0519	(5.5632)
400	3	4.5021	(3.8407)	5.4520	(3.7311)
400	4	4.9829	(3.7848)	3.9759	(2.8092)
400	5	4.8024	(3.0321)	4.8187	(2.2538)
400	6	4.4638	(1.9564)	4.9438	(1.8926)
400	7	4.6411	(1.7080)	4.5683	(1.6184)
400	8	5.5946	(1.9119)	5.1865	(1.4258)
480	1	26.1673	(26.1664)	19.2963	(19.2958)
480	2	13.8879	(13.1470)	11.1443	(9.6650)
480	3	9.7965	(8.8028)	8.2468	(6.4797)
480	4	8.3702	(6.6140)	7.7375	(4.8686)
480	5	7.9657	(5.3000)	6.4529	(3.9033)
480	6	8.1592	(4.4256)	7.0368	(3.2561)
480	7	7.0082	(2.9424)	6.6885	(2.8136)
480	8	8.5945	(3.3344)	7.3123	(2.4522)
560	1	41.6738	(41.6727)	30.7944	(30.7939)
560	2	21.8380	(20.9316)	16.4072	(15.4184)
560	3	12.0957	(10.8306)	12.7101	(10.3448)
560	4	12.7695	(10.5176)	10.0382	(7.7487)
560	5	11.9287	(8.4223)	10.3378	(6.2116)
560	6	10.3508	(5.4469)	11.2479	(5.2215)
560	7	11.6303	(6.0372)	9.9172	(4.4425)
560	8	12.0724	(5.2955)	10.5239	(3.9037)
640	1	62.3326	(62.3313)	46.2171	(46.2165)
640	2	32.6314	(31.3006)	27.7482	(23.1253)
640	3	17.8479	(16.0570)	17.2092	(15.4465)
640	4	18.8260	(15.7218)	16.3048	(11.6190)
640	5	17.2179	(12.5893)	15.3265	(9.3002)
640	6	14.6830	(8.3324)	16.0149	(7.7918)
640	7	14.4525	(7.0594)	13.9408	(6.6849)
640	8	16.5371	(7.9082)	13.0976	(5.8315)
720	1	88.5611	(88.5595)	65.7521	(65.7514)
720	2	46.0609	(44.4716)	34.4978	(32.9078)

Fortführung auf nächster Seite

Fortführung von „Laufzeitdaten mit Nvidia A100 SXM 80 GB GPUs“

Dim <sup>3</sup>	GPUs	Muesli		Native	
720	3	31.8659	(29.7299)	24.0928	(22.0133)
720	4	26.1034	(22.3192)	20.5554	(16.5296)
720	5	24.1364	(17.8724)	18.6896	(13.2239)
720	6	23.3110	(14.9106)	19.1800	(11.0345)
720	7	20.6835	(12.7196)	18.5333	(9.4857)
720	8	22.4957	(11.2200)	20.9311	(8.3003)
800	1	121.5570	(121.5552)	90.2953	(90.2947)
800	2	62.9538	(61.0179)	48.7286	(45.1858)
800	3	36.6943	(34.0116)	34.8845	(30.2379)
800	4	35.3847	(30.6404)	30.3761	(22.6676)
800	5	31.8589	(24.5184)	27.1673	(18.1338)
800	6	25.9567	(16.1020)	26.8666	(15.1906)
800	7	25.3687	(14.1324)	24.4713	(13.0518)
800	8	29.2375	(15.3865)	27.0402	(11.3643)
880	2	83.6428	(81.1812)	62.7277	(60.3180)
880	4	46.5908	(40.7390)	36.1090	(30.2375)
880	8	37.1653	(20.4611)	31.0845	(15.1935)
960	2	108.3259	(105.4636)	81.5065	(78.3920)
960	4	59.7951	(52.8922)	46.1967	(39.2771)
960	8	45.6877	(26.5313)	43.1515	(19.7132)
1040	4	75.2658	(67.1482)	62.7509	(50.0442)
1040	8	55.7067	(33.7038)	51.8838	(25.0639)
1080	4	83.8485	(75.0962)	65.0860	(56.1063)
1080	8	61.3629	(37.7091)	51.4356	(28.1020)
1120	4	93.1402	(83.8674)	74.9217	(62.4394)
1120	8	67.0218	(42.1071)	60.7846	(31.2584)
1160	4	103.0882	(93.0613)	79.7896	(69.5427)
1160	8	72.6492	(46.6767)	56.9245	(34.7839)
1200	4	113.8870	(103.2413)	99.2813	(76.9754)
1200	8	79.8106	(51.7710)	66.3823	(38.5531)
1240	4	125.0698	(113.6080)	99.5433	(85.0219)
1240	8	86.2345	(56.9805)	72.5818	(42.5757)
1280	4	137.4176	(125.2300)	116.6246	(93.1826)
1280	8	94.3141	(62.8048)	78.6891	(46.6682)
1320	8	-	(-)	84.5165	(51.3588)



Tabelle B.2: Laufzeitdaten mit Nvidia GeForce RTX 2080 Ti 11GB GPUs

Dim <sup>3</sup>	GPUs	Muesli		Native	
10	1	0.0074	(0.0073)	0.0044	(0.0042)
10	2	0.0197	(0.0148)	0.0187	(0.0138)
10	4	0.0223	(0.0114)	0.0214	(0.0096)
10	8	0.0278	(0.0065)	0.0318	(0.0100)
40	1	0.0564	(0.0563)	0.0306	(0.0305)
40	2	0.0426	(0.0296)	0.0288	(0.0166)
40	4	0.0499	(0.0199)	0.0381	(0.0127)
40	8	0.0772	(0.0188)	0.0743	(0.0113)
128	1	2.0062	(2.0060)	1.9204	(1.9203)
128	2	1.1744	(1.0358)	1.1642	(1.0183)
128	4	0.8383	(0.5291)	0.8154	(0.5225)
128	8	0.8585	(0.2745)	0.8584	(0.2942)
256	1	18.8560	(18.8558)	20.1854	(20.1853)
256	2	10.2581	(9.7000)	11.0495	(10.4889)
256	4	6.0111	(4.8744)	6.3941	(5.2513)
256	8	4.7636	(2.4415)	5.0440	(2.6933)
416	1	82.0089	(82.0086)	89.7745	(89.7743)
416	2	43.4474	(42.1385)	47.6662	(46.3579)
416	4	23.9598	(21.0918)	25.9784	(23.1450)
416	8	16.5905	(10.5573)	17.6964	(11.6097)
440	2	50.8060	(49.6539)	57.9893	(56.6562)
440	4	27.9723	(24.9232)	31.6740	(28.3049)
440	8	19.3568	(12.4638)	21.3575	(14.2439)
480	2	65.9410	(64.4023)	74.4443	(72.8893)
480	4	35.8158	(32.3099)	39.9565	(36.2959)
480	8	23.9010	(16.1613)	26.1534	(18.1711)
520	2	84.0970	(81.9217)	96.2426	(94.0852)
520	4	45.5919	(41.0867)	51.5726	(46.9358)
520	8	29.9742	(20.5636)	33.0317	(23.4343)
560	4	56.8684	(51.3769)	64.1523	(58.6654)
560	8	36.9578	(25.8336)	40.7915	(29.2388)
600	4	69.5609	(63.0553)	79.9614	(73.1920)
600	8	45.1801	(31.5501)	50.7909	(36.5661)
640	4	83.5231	(76.2503)	95.8841	(88.4506)
640	8	52.9216	(38.1098)	59.5506	(44.2881)
680	8	62.8411	(45.8587)	71.3348	(53.6052)
720	8	73.4547	(54.3626)	83.3602	(63.6851)
760	8	84.4833	(63.8370)	97.4672	(75.6814)

Tabelle B.3: Laufzeitdaten mit Nvidia Titan RTX 24 GB GPUs

Dim <sup>3</sup>	GPUs	Muesli		Native	
256	1	17.5239	(17.5237)	17.7916	(17.7914)
256	2	8.9668	(8.7908)	9.1375	(8.9572)
256	3	5.7092	(4.7848)	7.3207	(6.2369)
256	4	6.7918	(4.5393)	5.9092	(4.6587)
440	1	91.0329	(91.0324)	97.1918	(97.1916)
440	2	46.4250	(45.8742)	49.3835	(48.8322)
440	3	23.6812	(20.9535)	35.9296	(33.5097)
440	4	29.6237	(23.4541)	27.9827	(25.1206)
512	1	142.7831	(142.7822)	155.9195	(155.9191)
512	2	72.8214	(72.0723)	78.8924	(78.1812)
512	3	36.7900	(32.9734)	57.1420	(53.8251)
512	4	45.3554	(36.9625)	44.0834	(40.2527)
528	1	157.5765	(157.5756)	168.4733	(168.4726)
528	2	80.3268	(79.5392)	85.3284	(84.5546)
528	3	57.9885	(54.0012)	61.2182	(57.9513)
528	4	49.3700	(40.5313)	47.8680	(43.4143)
544	1	171.6023	(171.6013)	183.6478	(183.6475)
544	2	87.4270	(86.6002)	92.9961	(92.1918)
544	3	44.9422	(40.6661)	67.7561	(63.0429)
544	4	54.2330	(44.1921)	55.0679	(47.3124)
554	2	91.7328	(90.8747)	101.2579	(100.4186)
554	3	46.6268	(42.3646)	73.3173	(69.1014)
554	4	41.4294	(31.4977)	56.4971	(51.7358)
560	2	95.1351	(94.2586)	102.3303	(101.4787)
560	3	48.6467	(44.0819)	73.5872	(69.6770)
560	4	58.9552	(48.3318)	58.9344	(52.2286)
600	2	116.7182	(115.7482)	127.8168	(126.8535)
600	3	83.9352	(78.9689)	90.6497	(86.7078)
600	4	70.6804	(59.1221)	69.9102	(65.0122)
640	2	141.1783	(140.0943)	154.3935	(153.2756)
640	3	71.3256	(65.6238)	110.8543	(104.8459)
640	4	85.5545	(71.6389)	86.3488	(78.9366)
680	2	169.4098	(168.1920)	188.2035	(186.9860)
680	3	88.8856	(82.2248)	134.7587	(128.0365)
680	4	101.5412	(85.9765)	103.9867	(95.6887)
720	3	143.4570	(136.0904)	159.0241	(151.4162)
720	4	119.3627	(102.1388)	122.5177	(113.8210)
760	3	118.1335	(110.1361)	186.6387	(180.1134)
760	4	138.3713	(119.6720)	143.6766	(135.1846)
800	4	160.4786	(139.5736)	167.0690	(156.9471)

## B.2. Laufzeitdaten nach der Optimierung

Muesli auf Stand von Commit 12b2160, die native Anwendung auf Commit cf79742.

Tabelle B.4: Laufzeitdaten mit Nvidia A100 SXM 80 GB GPUs

Dim <sup>3</sup>	GPUs	Muesli		Native	
80	1	0.0560	(0.0553)	0.0529	(0.0525)
80	2	0.0637	(0.0328)	0.1154	(0.0318)
80	3	0.0713	(0.0223)	0.2699	(0.0245)
80	4	0.0934	(0.0231)	0.3474	(0.0206)
80	5	0.1573	(0.0179)	0.2549	(0.0163)
80	6	0.2731	(0.0138)	0.2610	(0.0145)
80	7	0.3723	(0.0134)	0.3399	(0.0152)
80	8	0.4808	(0.0188)	0.4922	(0.0175)
160	1	0.4050	(0.4042)	0.3798	(0.3794)
160	2	0.3193	(0.2121)	0.3001	(0.1945)
160	3	0.2774	(0.1345)	1.0204	(0.1350)
160	4	0.3102	(0.1129)	0.6098	(0.1034)
160	5	0.5356	(0.0936)	0.4972	(0.0852)
160	6	0.6942	(0.0771)	0.8597	(0.0759)
160	7	0.8781	(0.0681)	1.4653	(0.0698)
160	8	0.8818	(0.0668)	0.8647	(0.0611)
240	1	1.3821	(1.3815)	1.2888	(1.2884)
240	2	0.9043	(0.7033)	1.4449	(0.6519)
240	3	0.7501	(0.4731)	0.7095	(0.4375)
240	4	0.7990	(0.3601)	0.7746	(0.3319)
240	5	1.2146	(0.2926)	1.3527	(0.2698)
240	6	1.2000	(0.2471)	1.4520	(0.2285)
240	7	1.3203	(0.1992)	1.8642	(0.2041)
240	8	1.6694	(0.1939)	2.1156	(0.1788)
320	1	3.2972	(3.2965)	3.0736	(3.0731)
320	2	1.9626	(1.6773)	1.8610	(1.5470)
320	3	1.4434	(1.0359)	1.4576	(1.0365)
320	4	1.5675	(0.8523)	1.5069	(0.7800)
320	5	2.3196	(0.6907)	2.0980	(0.6285)
320	6	2.1843	(0.5375)	2.2847	(0.5335)
320	7	2.3264	(0.4653)	2.7732	(0.4606)
320	8	2.9930	(0.4488)	2.9695	(0.4071)
400	1	6.4701	(6.4694)	6.0364	(6.0352)
400	2	3.7563	(3.2798)	4.2981	(3.0332)
400	3	2.6734	(1.9962)	2.7081	(2.0284)
400	4	2.8660	(1.6597)	2.6996	(1.5260)
400	5	3.0835	(1.3377)	3.5046	(1.2278)
400	6	3.5700	(1.0286)	4.7530	(1.0351)
400	7	3.9241	(0.8788)	4.5774	(0.8929)
400	8	4.7313	(0.8628)	4.6263	(0.7840)
440	1	8.6369	(8.6362)	8.1005	(8.0999)
440	2	5.0434	(4.3680)	4.7445	(4.0698)

Fortführung auf nächster Seite

Fortführung von „Laufzeitdaten mit Nvidia A100 SXM 80 GB GPUs“

Dim <sup>3</sup>	GPUs	Muesli		Native	
440	3	3.6011	(2.7299)	4.0494	(2.7222)
440	4	3.7339	(2.2127)	3.5584	(2.0444)
440	5	4.0054	(1.7827)	4.2286	(1.6406)
440	6	4.6949	(1.3889)	3.8189	(1.3824)
440	7	4.7119	(1.2759)	4.8334	(1.1851)
440	8	5.8879	(1.1477)	4.7014	(1.0407)
480	1	11.2279	(11.2271)	10.4911	(10.4906)
480	2	6.3859	(5.6753)	6.0214	(5.2632)
480	3	4.7685	(3.7934)	5.6341	(3.5142)
480	4	4.5981	(2.8619)	5.2091	(2.6415)
480	5	4.8229	(2.3002)	5.8011	(2.1206)
480	6	5.7305	(1.9310)	6.0375	(1.7737)
480	7	5.8228	(1.5473)	5.8145	(1.5334)
480	8	7.1341	(1.4720)	6.3876	(1.3449)
560	1	17.8431	(17.8422)	16.7499	(16.7493)
560	2	9.9389	(9.0191)	9.8333	(8.4023)
560	3	6.9827	(5.6973)	7.6473	(5.6158)
560	4	6.8152	(4.5343)	7.6880	(4.2170)
560	5	7.1533	(3.6462)	7.7713	(3.3815)
560	6	7.9986	(2.8610)	7.7759	(2.8380)
560	7	8.4956	(2.6334)	8.1941	(2.4322)
560	8	9.6660	(2.3232)	9.9776	(2.1369)
600	1	21.9671	(21.9662)	20.6503	(20.6498)
600	2	12.2863	(11.0909)	11.5399	(10.3505)
600	3	9.0112	(7.4133)	9.1955	(6.9105)
600	4	8.3857	(5.5739)	9.0777	(5.1899)
600	5	8.5365	(4.4755)	8.1465	(4.1601)
600	6	9.6777	(3.7576)	8.9006	(3.4719)
600	7	9.3061	(3.0672)	7.8371	(2.9879)
600	8	11.6557	(2.8491)	9.8960	(2.6222)
640	1	26.6543	(26.6533)	24.9157	(24.9150)
640	2	14.7847	(13.4554)	15.8628	(12.4826)
640	3	10.1648	(8.4129)	10.0920	(8.3415)
640	4	9.8814	(6.7586)	10.5587	(6.2583)
640	5	10.0127	(5.4289)	9.8575	(5.0121)
640	6	11.1028	(4.3571)	10.4600	(4.1997)
640	7	11.3887	(3.6672)	10.7052	(3.6184)
640	8	13.1953	(3.4402)	14.1121	(3.1681)
680	1	31.9975	(31.9964)	30.1665	(30.1658)
680	2	17.5133	(16.1538)	17.4527	(15.1252)
680	3	12.2097	(10.2963)	12.0704	(10.0874)
680	4	11.6028	(8.1113)	12.9295	(7.5700)
680	5	11.6733	(6.5040)	12.8429	(6.0631)
680	6	12.7824	(5.1469)	12.5846	(5.0813)
680	7	13.0185	(4.3631)	13.4166	(4.3618)
680	8	14.7910	(4.1407)	13.5215	(3.8149)
720	1	38.0035	(38.0022)	35.8136	(35.8130)

Fortführung auf nächster Seite

Fortführung von „Laufzeitdaten mit Nvidia A100 SXM 80 GB GPUs“

Dim <sup>3</sup>	GPUs	Muesli		Native	
720	2	20.8701	(19.2830)	20.3055	(17.9669)
720	3	15.0515	(12.9098)	17.5063	(11.9831)
720	4	13.5862	(9.7301)	12.7923	(8.9875)
720	5	13.4806	(7.8132)	12.8759	(7.1975)
720	6	14.9291	(6.5613)	14.1704	(6.0106)
720	7	13.1705	(5.6751)	14.4577	(5.1728)
720	8	17.0092	(4.9981)	18.9525	(4.5374)
760	1	44.6793	(44.6779)	42.2083	(42.2077)
760	2	24.4792	(22.5776)	26.9907	(21.1603)
760	3	16.7401	(14.2441)	16.6205	(14.0984)
760	4	15.7534	(11.3108)	16.5654	(10.5882)
760	5	15.5188	(9.0744)	14.8918	(8.4771)
760	6	16.3368	(7.3672)	18.4440	(7.0869)
760	7	16.6290	(6.1715)	14.0248	(6.0910)
760	8	19.3511	(5.7391)	16.9830	(5.3375)
800	1	52.1563	(52.1547)	49.1322	(49.1316)
800	2	28.6634	(26.6920)	26.6970	(24.6158)
800	3	19.6313	(16.9330)	20.1999	(16.4274)
800	4	18.2452	(13.3990)	18.7502	(12.3113)
800	5	17.7005	(10.7519)	19.2517	(9.8662)
800	6	18.7068	(8.4323)	17.6208	(8.2586)
800	7	19.0526	(7.1902)	18.3796	(7.0933)
800	8	21.7812	(6.7965)	21.2477	(6.1938)
880	2	38.4843	(35.9247)	35.4732	(32.9464)
880	4	24.0942	(18.1500)	25.9059	(16.4807)
880	8	27.8753	(9.2477)	20.7229	(8.2812)
960	2	48.5150	(45.4674)	47.0620	(42.7995)
960	4	29.8129	(22.7825)	31.0011	(21.4156)
960	8	33.2635	(11.5021)	34.2904	(10.7646)
1040	4	37.2133	(28.8565)	38.1879	(27.3418)
1040	8	39.6955	(14.5654)	34.4907	(13.7432)
1080	4	41.3894	(32.5564)	45.8923	(30.6500)
1080	8	44.0387	(16.5233)	42.6000	(15.3827)
1120	4	45.5613	(36.3801)	43.5251	(34.0640)
1120	8	47.2638	(18.3170)	47.3870	(17.0989)
1160	4	50.4871	(40.2286)	60.5884	(37.9796)
1160	8	51.5342	(20.2491)	50.9255	(19.0508)
1200	4	55.5976	(44.5028)	58.6800	(42.0213)
1200	8	54.8289	(22.3653)	48.1304	(21.0718)
1240	4	61.2149	(49.4272)	57.9644	(46.3712)
1240	8	60.2327	(24.9127)	59.3051	(23.2547)
1280	4	66.7108	(54.3833)	65.9004	(50.8985)
1280	8	64.6841	(27.3561)	67.1510	(25.5243)

Tabelle B.5: Laufzeitdaten mit Nvidia GeForce RTX 2080 Ti 11GB GPUs

Dim <sup>3</sup>	GPUs	Muesli		Native	
40	1	0.0209	(0.0208)	0.0181	(0.0180)
40	2	0.0313	(0.0184)	0.0313	(0.0185)
40	3	0.0337	(0.0128)	0.0354	(0.0148)
40	4	0.0427	(0.0123)	0.0407	(0.0135)
40	5	0.0560	(0.0109)	0.0537	(0.0146)
40	6	0.0534	(0.0092)	0.0640	(0.0138)
40	7	0.0699	(0.0107)	0.0710	(0.0123)
40	8	0.0771	(0.0111)	0.0752	(0.0128)
80	1	0.1347	(0.1346)	0.1146	(0.1145)
80	2	0.1374	(0.0772)	0.1214	(0.0695)
80	3	0.1264	(0.0497)	0.1340	(0.0557)
80	4	0.1521	(0.0459)	0.1661	(0.0494)
80	5	0.1686	(0.0400)	0.1856	(0.0491)
80	6	0.1953	(0.0309)	0.2162	(0.0520)
80	7	0.2293	(0.0301)	0.2514	(0.0500)
80	8	0.2692	(0.0355)	0.2828	(0.0452)
120	1	0.4293	(0.4292)	0.3016	(0.3015)
120	2	0.3678	(0.2372)	0.3042	(0.1894)
120	3	0.3423	(0.1645)	0.3331	(0.1587)
120	4	0.3988	(0.1302)	0.4169	(0.1619)
120	5	0.3998	(0.1121)	0.4592	(0.1709)
120	6	0.5097	(0.1064)	0.5643	(0.1662)
120	7	0.5345	(0.0715)	0.5897	(0.1647)
120	8	0.6044	(0.0932)	0.6627	(0.1670)
160	1	1.1299	(1.1298)	0.7995	(0.7994)
160	2	0.8210	(0.5920)	0.6193	(0.4140)
160	3	0.5736	(0.2900)	0.6148	(0.3184)
160	4	0.7641	(0.3067)	0.7561	(0.3253)
160	5	0.7615	(0.2527)	0.8364	(0.3274)
160	6	0.8371	(0.1712)	0.9857	(0.3182)
160	7	0.9105	(0.1562)	1.0747	(0.3156)
160	8	1.0770	(0.1996)	1.1971	(0.3359)
200	1	2.5028	(2.5026)	2.2262	(2.2261)
200	2	1.6525	(1.3085)	1.5180	(1.1600)
200	3	1.0563	(0.6199)	1.2249	(0.7782)
200	4	1.3293	(0.6689)	1.3021	(0.6550)
200	5	1.3090	(0.5373)	1.4990	(0.7222)
200	6	1.3551	(0.3197)	1.6728	(0.6042)
200	7	1.5345	(0.2885)	1.7711	(0.6153)
200	8	1.7833	(0.3539)	2.0204	(0.5844)
240	1	5.1936	(5.1934)	4.8548	(4.8547)
240	2	3.1794	(2.6989)	2.9618	(2.5061)
240	3	2.4142	(1.8038)	2.2618	(1.6719)
240	4	2.3193	(1.3568)	2.2471	(1.2602)
240	5	2.1723	(1.0905)	2.5006	(1.4046)
240	6	2.4679	(0.9116)	2.7236	(1.1860)
240	7	2.2322	(0.5396)	2.8417	(1.1809)

Fortführung auf nächster Seite

Fortführung von „Laufzeitdaten mit Nvidia GeForce RTX 2080 Ti 11GB GPUs“

Dim <sup>3</sup>	GPUs	Muesli		Native	
240	8	2.7641	(0.7001)	3.1712	(1.1174)
280	1	8.5335	(8.5333)	8.6673	(8.6672)
280	2	5.0410	(4.4140)	5.1072	(4.4657)
280	3	2.7395	(1.9053)	3.8127	(2.9751)
280	4	3.5089	(2.2138)	3.5724	(2.2356)
280	5	3.3048	(1.7813)	3.6824	(2.1726)
280	6	3.0956	(1.0068)	4.0199	(1.9564)
280	7	3.6384	(1.2862)	4.1154	(1.8000)
280	8	3.9414	(1.1393)	4.5845	(1.8159)
320	1	12.7780	(12.7778)	12.7569	(12.7568)
320	2	7.4040	(6.5931)	7.3777	(6.5673)
320	3	4.0656	(3.0159)	5.4583	(4.3945)
320	4	4.9811	(3.3097)	4.9619	(3.2804)
320	5	4.5825	(2.6502)	4.9169	(3.0057)
320	6	4.2111	(1.4838)	5.2912	(2.6058)
320	7	4.3021	(1.3195)	5.6273	(2.7044)
320	8	5.3112	(1.6886)	6.1221	(2.5094)
340	1	15.3707	(15.3706)	15.4001	(15.3999)
340	2	8.8219	(7.9386)	8.8403	(7.9309)
340	3	4.6711	(3.5131)	6.4495	(5.2818)
340	4	5.8848	(3.9780)	5.8822	(3.9708)
340	5	5.3467	(3.1776)	5.8294	(3.6422)
340	6	4.9261	(1.8519)	6.3732	(3.2887)
340	7	4.9576	(1.5397)	6.6034	(3.2782)
340	8	5.4989	(1.3682)	6.9572	(2.8795)
360	1	18.2778	(18.2776)	18.1789	(18.1788)
360	2	10.4474	(9.4265)	10.3913	(9.3572)
360	3	7.5958	(6.2905)	7.5486	(6.2361)
360	4	6.8227	(4.7173)	6.7896	(4.6651)
360	5	6.2570	(3.7830)	6.4985	(4.0896)
360	6	6.5788	(3.1527)	7.3238	(3.9335)
360	7	5.5772	(1.8427)	7.7383	(4.0074)
360	8	6.9602	(2.3937)	8.2906	(3.7352)
380	1	21.5199	(21.5197)	20.9764	(20.9763)
380	2	12.1934	(11.0917)	11.9465	(10.8279)
380	3	6.6004	(5.1488)	8.6829	(7.2159)
380	4	7.8905	(5.5448)	7.7910	(5.4002)
380	5	7.1170	(4.4466)	7.4248	(4.6761)
380	6	6.3494	(2.5233)	8.4579	(4.6582)
380	7	6.4862	(2.1708)	8.7582	(4.5878)
380	8	7.0597	(1.9034)	9.4021	(4.3747)
400	1	25.0758	(25.0756)	24.3875	(24.3873)
400	2	14.1496	(12.9320)	13.7979	(12.5570)
400	3	7.4168	(5.8107)	9.9728	(8.3577)
400	4	9.0259	(6.4575)	8.8749	(6.2577)
400	5	8.1603	(5.1780)	9.2588	(6.2927)
400	6	7.3525	(3.0690)	9.4649	(5.3511)

Fortführung auf nächster Seite

Fortführung von „Laufzeitdaten mit Nvidia GeForce RTX 2080 Ti 11GB GPUs“

Dim <sup>3</sup>	GPUs	Muesli		Native	
400	7	7.1682	(2.4797)	9.6868	(5.0572)
400	8	8.8751	(3.2735)	10.8641	(5.2956)
420	1	-	(-)	28.2909	(28.2907)
420	2	16.3208	(14.9972)	15.8569	(14.5638)
420	3	11.7760	(9.9949)	11.4889	(9.6918)
420	4	10.3328	(7.4772)	10.1668	(7.2728)
420	5	9.2890	(6.0047)	10.3741	(7.0205)
420	6	9.6440	(5.0018)	10.7611	(6.0091)
420	7	9.3786	(4.3060)	11.2766	(6.0651)
420	8	8.8698	(2.6341)	11.7035	(5.4531)
440	2	18.4179	(17.2310)	18.0156	(16.6690)
440	4	11.7421	(8.5991)	11.4127	(8.3001)
440	8	11.3842	(4.3569)	13.4024	(6.6074)
480	2	23.8524	(22.3548)	23.0899	(21.4561)
480	4	14.7038	(11.1506)	14.3127	(10.6635)
480	8	13.3872	(5.6346)	16.1418	(8.3163)
520	2	30.5899	(28.4691)	29.6268	(27.6193)
520	4	18.5367	(14.1855)	17.9596	(13.7307)
520	8	16.4211	(7.1678)	20.2374	(11.1722)
560	4	23.0034	(17.6941)	22.9814	(17.5966)
560	8	19.8568	(8.8947)	24.6569	(13.7474)
600	4	28.3776	(21.7837)	28.4819	(22.0196)
600	8	24.8434	(11.0015)	29.9340	(16.4696)
640	4	33.6159	(26.3754)	34.2046	(26.9767)
640	8	28.3424	(13.3178)	33.5997	(19.0755)
680	8	33.4742	(16.0240)	38.7912	(22.0305)
720	8	38.3281	(18.8858)	44.6724	(26.0709)
760	8	43.3334	(22.1673)	51.7406	(31.2113)



Tabelle B.6: Laufzeitdaten mit Nvidia Titan RTX 24 GB GPUs

Dim <sup>3</sup>	GPUs	Muesli		Native	
40	1	0.0197	(0.0196)	0.0169	(0.0168)
40	2	0.0202	(0.0120)	0.0190	(0.0109)
40	3	0.0419	(0.0143)	0.0485	(0.0146)
40	4	0.0670	(0.0109)	0.0533	(0.0156)
80	1	0.1225	(0.1224)	0.0798	(0.0797)
80	2	0.0894	(0.0697)	0.0789	(0.0590)
80	3	0.1394	(0.0516)	0.1722	(0.0614)
80	4	0.2616	(0.0460)	0.1752	(0.0533)
120	1	0.3897	(0.3896)	0.2454	(0.2453)
120	2	0.2498	(0.2071)	0.1719	(0.1294)
120	3	0.3605	(0.1431)	0.3970	(0.1706)
120	4	0.6834	(0.1255)	0.4409	(0.1870)
160	1	1.0471	(1.0470)	0.7135	(0.7134)
160	2	0.5991	(0.5300)	0.4210	(0.3524)
160	3	0.6302	(0.2696)	0.7880	(0.3386)
160	4	1.2116	(0.2927)	0.8609	(0.3700)
200	1	2.3029	(2.3027)	1.9697	(1.9695)
200	2	1.2665	(1.1603)	1.1029	(0.9949)
200	3	1.1063	(0.5724)	1.3818	(0.7042)
200	4	2.0555	(0.6280)	1.5506	(0.7887)
240	1	4.8070	(4.8068)	4.3848	(4.3847)
240	2	2.5699	(2.4132)	2.3609	(2.2017)
240	3	2.5214	(1.6764)	2.4161	(1.5226)
240	4	3.3274	(1.2755)	2.6812	(1.6258)
280	1	8.1033	(8.1031)	8.1310	(8.1308)
280	2	4.2767	(4.0647)	4.2938	(4.0795)
280	3	2.8919	(1.7991)	4.1856	(2.8853)
280	4	4.8560	(2.1311)	3.6012	(2.1139)
320	1	12.1024	(12.1022)	12.0394	(12.0392)
320	2	6.3448	(6.0674)	6.3135	(6.0299)
320	3	4.3739	(2.8282)	5.8203	(4.2179)
320	4	6.7457	(3.1620)	5.0380	(3.1255)
340	1	14.5480	(14.5478)	14.5406	(14.5404)
340	2	7.6090	(7.2936)	7.6070	(7.2874)
340	3	5.0232	(3.3134)	6.6888	(5.0021)
340	4	7.8463	(3.7999)	5.7488	(3.7473)
360	1	17.2911	(17.2909)	17.1771	(17.1770)
360	2	9.0245	(8.6656)	8.9713	(8.6111)
360	3	7.9060	(5.9699)	7.8072	(5.9078)
360	4	9.1190	(4.5055)	6.6980	(4.4687)
380	1	20.3201	(20.3199)	19.9602	(19.9601)
380	2	10.5840	(10.1867)	10.4402	(10.0194)
380	3	6.9686	(4.8424)	9.0840	(6.9206)
380	4	10.3077	(5.2881)	7.7499	(5.1011)
400	1	23.7264	(23.7261)	23.0172	(23.0170)
400	2	12.3355	(11.8957)	11.9895	(11.5297)
400	3	7.8633	(5.4990)	10.5074	(7.9060)

Fortführung auf nächster Seite

Fortführung von „Laufzeitdaten mit Nvidia Titan RTX 24 GB GPUs“

Dim <sup>3</sup>	GPUs	Muesli		Native	
400	4	11.9356	(6.1533)	10.3006	(6.0102)
420	1	27.5082	(27.5079)	26.7288	(26.7287)
420	2	14.2769	(13.7867)	13.9059	(13.3949)
420	3	11.9668	(9.4695)	11.9872	(9.1851)
420	4	13.5007	(7.1393)	10.1832	(6.8708)
440	1	31.6415	(31.6413)	30.5201	(30.5200)
440	2	16.4044	(15.8584)	15.8519	(15.2945)
440	3	10.4679	(7.6708)	12.4129	(10.4876)
440	4	14.5690	(8.1959)	11.2312	(7.8401)
460	1	36.1479	(36.1476)	34.8296	(34.8294)
460	2	18.7151	(18.1184)	18.0409	(17.4394)
460	3	11.4977	(8.4673)	14.0246	(11.9741)
460	4	16.8499	(9.3437)	11.8952	(9.0183)
480	1	41.0624	(41.0620)	39.2220	(39.2217)
480	2	21.2489	(20.5901)	20.3005	(19.6520)
480	3	17.4049	(14.1060)	17.0717	(13.4208)
480	4	18.4360	(10.5795)	16.0591	(10.0329)
500	1	46.3301	(46.3297)	44.7124	(44.7119)
500	2	23.9531	(23.2373)	23.1356	(22.4170)
500	3	15.0645	(11.4587)	18.3897	(15.4134)
500	4	20.4656	(11.9763)	15.3928	(11.4734)
520	1	52.2976	(52.2972)	50.6627	(50.6623)
520	2	27.0015	(26.2223)	26.1400	(25.3770)
520	3	16.6202	(12.5921)	21.6159	(17.3397)
520	4	23.2163	(13.4772)	17.9571	(12.9837)
560	2	33.6155	(32.7442)	33.3507	(32.4852)
560	3	21.2184	(16.5668)	26.9787	(22.2172)
560	4	27.7951	(16.8545)	22.0904	(16.5971)
600	2	41.2729	(40.2961)	41.8142	(40.8514)
600	3	32.5936	(27.4868)	31.8640	(27.9678)
600	4	31.8870	(20.6750)	25.9524	(20.8671)
640	2	50.0126	(48.9020)	51.1585	(50.0779)
640	3	29.8036	(23.9813)	39.8124	(34.2492)
640	4	38.8909	(24.9904)	31.9869	(25.6656)
680	2	60.1835	(58.9640)	61.3336	(60.1189)
680	3	37.8651	(31.1287)	47.3392	(41.0242)
680	4	46.2703	(30.0343)	38.7218	(30.6218)
720	3	55.0270	(47.4887)	54.9244	(48.4227)
720	4	53.8722	(35.6522)	44.7757	(36.2445)
760	3	49.9641	(41.5874)	62.9604	(56.9091)
760	4	61.8806	(42.0466)	51.7020	(42.7666)
800	4	70.9441	(48.9988)	58.7492	(48.7731)

## Eidesstattliche Erklärung

Hiermit versichere ich, dass die vorliegende Arbeit über „Implementierung und Optimierung von dreidimensionalen Stencil-Skeletten mithilfe paralleler Verarbeitung“ selbstständig verfasst worden ist, dass keine anderen Quellen und Hilfsmittel als die angegebenen benutzt worden sind und dass die Stellen der Arbeit, die anderen Werken – auch elektronischen Medien – dem Wortlaut oder Sinn nach entnommen wurden, auf jeden Fall unter Angabe der Quelle als Entlehnung kenntlich gemacht worden sind.

Ich erkläre mich mit einem Abgleich der Arbeit mit anderen Texten zwecks Auffindung von Übereinstimmungen sowie mit einer zu diesem Zweck vorzunehmenden Speicherung der Arbeit in eine Datenbank einverstanden.

Steinfurt, den 14. Februar 2023,

---

Justus Dieckmann